

**Università degli Studi di Genova**



**Dipartimento di Ingegneria delle Costruzioni  
dell'Ambiente e del Territorio**

**Un modello analitico tridimensionale e non lineare  
per l'idrodinamica e la morfodinamica di alvei  
meandriiformi**

**G. Nobile, M. Bolla Pittaluga, G. Seminara**

**Genova, 21 Marzo 2007**





**Mississippi River (1930-1970)**



## PRINCIPALI PROCESSI CHE SI VERIFICANO IN ALVEI MEANDRIFORMI

➤ **Erosione** della sponda esterna 

➤ Generazione **moto secondario**



**deposito** in sponda interna (“**forced bars**”) 



*Interazione* (“**risonanza**”) 

➤ Generazione e propagazione di forme di fondo (“**free or migrating bars**”) 



**Evoluzione planimetrica** degli alvei meandriformi 

## RILEVANZA ...

➤ **Aspetto scientifico**

➤ **Aspetto ingegneristico: predizione della massima profondità di scavo, navigazione, ...**

➤ **Aspetto economico: Petroleum Engineering**

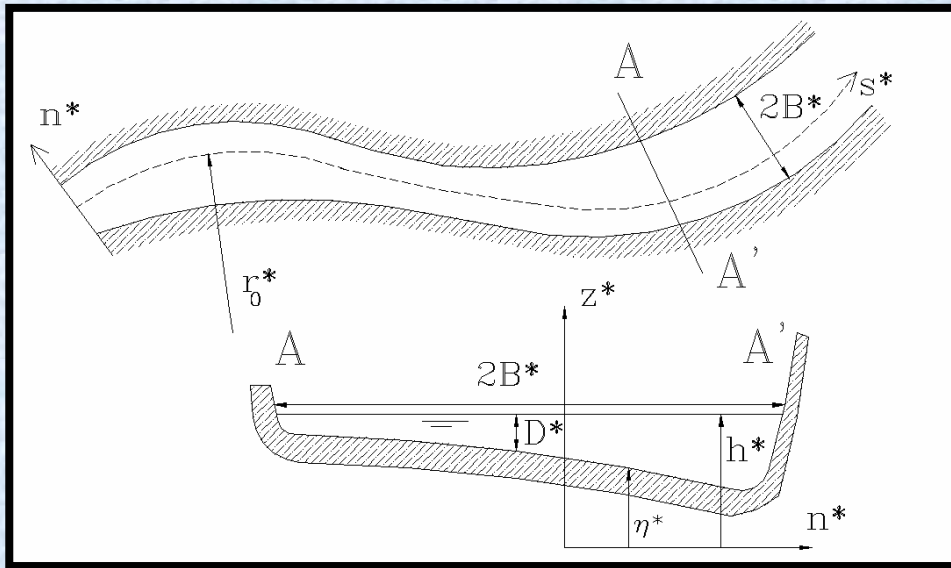
➤ **Proprietà privata**

➤ ...

**Un modello analitico tridimensionale e non lineare  
per l'idrodinamica e la morfodinamica di alvei  
meandriiformi**



## Formulazione matematica del problema



Sistema di coordinate curvilinee ortogonali dimensionali ( $s^*, n^*, z^*$ )

### IPOTESI

- Canale molto largo  $\beta = \frac{B_u^*}{D_u^*} \gg 1$
- Canale debolmente meandriforme  

$$v_0 = \frac{B_u^*}{R_0^*} \ll 1$$
- Materiale non coesivo
- Trasporto di fondo dominante
- Condizioni stazionarie

Tali ipotesi garantiscono un moto *lentamente variato*, sia in direzione longitudinale, sia in direzione trasversale

**Non vi è alcuna ipotesi restrittiva a priori riguardante la forma del fondo (Seminara & Solari, 1998)**

# Formulazione matematica del problema

## Parametri

$$v_0 = \frac{B_u^*}{R_o^*} \quad \text{curvature ratio} \quad v_0 \ll 1$$

$$\beta_u = \frac{B_u^*}{D_u^*} \quad \text{width ratio} \quad \beta_u \gg 1$$

## Adimensionalizzazione

$$\left\{ \begin{array}{lll} s = \frac{s^*}{B_u^*} & D = \frac{D^*}{D_u^*} & U = \frac{U^*}{U_u^*} \\ n = \frac{n^*}{B_u^*} & h = \frac{h^*}{D_u^* F_u^2} & V = \frac{V^*}{U_u^*} \\ z = \frac{z^*}{D_u^*} & & W = \frac{W^*}{U_u^*} \beta_u \end{array} \right.$$



# Formulazione matematica del problema

## EQUAZIONI DI GOVERNO

### FASE LIQUIDA

#### • 3-D Reynolds

$$N(U^2)_{,s} + (UV)_{,n} + (UW)_{,z} + 2N\nu_0 CUV = -N[h_{,s} - \beta_u C_{fu}] + \beta_u \sqrt{C_{fu}} (v_T U_{,z})_{,z} \quad (s)$$

$$N(UV)_{,s} + (V^2)_{,n} + (VW)_{,z} + N\nu_0 C(V^2 - U^2) = -h_{,n} + \beta_u \sqrt{C_{fu}} (v_T V_{,z})_{,z} \quad (n)$$

$$P_{,z} = -\frac{1}{F_u^2} \quad (z)$$

#### • Continuità

$$NU_{,s} + N\nu_0 CV + V_{,n} + W_{,z} = 0$$

### FASE SOLIDA

#### • Equazione di Exner

$$N(q_{bs})_{,s} + N\nu_0 Cq_{bn} + (q_{bn})_{,n} = 0$$

# Formulazione matematica del problema

## CONDIZIONI AL CONTORNO

### FONDO

- Condizione di aderenza:  $U = V = W = 0$  ( $z = z_0$ )

### SUPERFICIE LIBERA

- Condizione cinematica:  $NUh_{,s}F_u^2 + Vh_{,n}F_u^2 - W = 0$  ( $z = hF_u^2$ )
- Condizione dinamica:  $v_T U_{,z} = v_T V_{,z} = P = 0$  ( $z = hF_u^2$ )

### SPONDE

- Sponde impermeabili alla corrente ed ai sedimenti: 
$$\begin{cases} \mathbf{q}_{\text{liq}} \cdot \mathbf{n}_b \Big|_{n=+B,-B} = 0 \\ \mathbf{q}_{\text{sol}} \cdot \mathbf{n}_b \Big|_{n=+B,-B} = 0 \end{cases}$$

### VINCOLI INTEGRALI

- La portata liquida e solida devono mantenersi costanti lungo s :

$$\frac{Q_u^*}{B_u^* D_u^* U_u^*} = \int_{-B}^B \int_{z_0}^{hF_u^2} U dz dn \quad \frac{Q_{su}^*}{\sqrt{(s-1)gd_s^{*3}}} = \int_{-B}^B q_{bs} dn$$



## Formulazione matematica del problema

Trasformazione di variabili  $(s,n,z) \rightarrow (\sigma,y,\zeta)$

$$\left\{ \begin{array}{ll} \sigma = \frac{s^*}{R_0^*} = \frac{s^*}{B_u^*} \frac{B_u^*}{R_0^*} = v_0 s & \lambda \sim O(v_0) \\ y = \frac{n^*}{B^*} = \frac{n^*}{B_u^*} = n & (-1 \leq y \leq 1) \\ \zeta = 1 - \frac{z^* - h^*}{D^*} = 1 - \frac{hF_u^2 - z}{D} & (\zeta_0 \leq \zeta \leq 1) \end{array} \right. \quad B^* = B_u^* \text{ costante}$$

Le derivate:

$$\frac{\partial}{\partial s} \rightarrow v_0 \frac{\partial}{\partial \sigma} + v_0 \left[ \frac{(1-\zeta)D_{,\sigma} - F_u^2 h_{,\sigma}}{D} \right] \frac{\partial}{\partial \zeta}$$

## Sviluppo in serie di potenze

Le funzioni incognite sono perturbate attraverso un'espansione in serie di potenze del parametro piccolo

$$\delta = \frac{V_0}{\beta_u \sqrt{C_u}} \ll 1$$

$$(U, V, W, D, h) = (U_0, 0, 0, D_0, h_0/\delta) + \delta(U_1, V_1, W_1, D_1, h_1) + \delta^2(U_2, V_2, W_2, D_2, h_2) + O(\delta^3)$$



**moto uniforme** in canale  
rettilineo avente una **topografia**  
del fondo incognita

$O(\delta^1)$  → **moto secondario** al minimo ordine di approssimazione

$$(U=U_0+\delta U_1 \quad V=\delta V_1 \quad W=\delta W_1)$$

$O(\delta^2)$  → introduzione dei **termini convettivi**

$$(V=\delta V_1+\delta^2 V_2)$$



# PRIMO ORDINE

## Equazione lungo s

$$N(U^2)_{,s} + (UV)_{,n} + (UW)_{,z} + 2Nv_0 CUV = -N \left[ h_{,s} - \beta_u C_{fu} \right] + \beta_u \sqrt{C_{fu}} (v_T U_{,z})_{,z}$$

$$O(\delta^0)$$

$$R_0 = \left( 1 - \frac{h_{0,\sigma}}{\sqrt{C_{fu}}} \right)$$

$$U_0 = R_0^{1/2} D_0^{1/2} F_0 \rightarrow$$

$$\left\{ \begin{array}{l} (NF_{0,\zeta})_{,\zeta} = -\sqrt{C_{fu}} \\ F_0|_{\zeta_0} = 0 \\ F_{0,\zeta}|_1 = 0 \end{array} \right.$$

**Bilancio tra tensioni al fondo e gravità**

**Distribuzione di velocità logaritmica**

**Moto uniforme**

## Equazione lungo n

$$N(UV)_{,s} + (V^2)_{,n} + (VW)_{,z} + Nv_0 C(V^2 - U^2) = -h_{,n} + \beta_u \sqrt{C_{fu}} (v_T V_{,z})_{,z}$$

$$O(\delta)$$

$$V_1 = CR_0^{1/2} D_0^{3/2} G_1 \rightarrow \left\{ \begin{array}{l} (NG_{1,\zeta})_{,\zeta} = a_1 - [F_0^2] \\ G_1|_{\zeta_0} = 0 \\ G_{1,\zeta}|_1 = 0 \end{array} \right.$$

**Moto secondario indotto dal termine centrifugo e dalla pendenza trasversale del pelo libero**

**$a_1(\sigma, y)$  funzione incognita indipendente da  $\zeta$**

**$G_1(\sigma, y, \zeta) = a_1(\sigma, y) G_{11}(\zeta) + G_{12}(\zeta)$**



## Equazione di continuità

$$NU_{,s} + Nv_0 CV + V_{,n} + W_{,z} = 0$$

$$O(\delta)$$

$$a_1 = a_{10} - \frac{a_{11}}{CD_0^{5/2} I_{F_0} R_0^{1/2}} \left\{ \frac{\partial}{\partial \sigma} \int_{-1}^y \left( D_0 \int_{\zeta_0}^1 U_0 \right) \right\}$$

Già al minimo ordine il moto secondario è sfasato rispetto alla curvatura per effetto delle derivate longitudinali presenti in  $a_1$

$$G_1(\sigma, y, \zeta) = a_1(\sigma, y) G_{11}(\zeta) + G_{12}(\zeta)$$

## Equazione di Exner

$$N(q_{bs})_{,s} + Nv_0 Cq_{bn} + (q_{bn})_{,n} = 0$$

$$O(\delta)$$

$$D_{0,y} = \frac{\sqrt{D_0 R_0}}{R'} \left\{ - \frac{V_{1,\zeta}}{U_{0,\zeta}} \Big|_{\zeta_0} - \frac{\beta_u \sqrt{C_{fu}}}{\Phi_0} \frac{\partial}{\partial \sigma} \left[ \int_{-1}^y \Phi_0 \right] \right\}$$

$\Phi_0$  Portata solida longitudinale

### Incognite:

1. **Profondità in sponda interna:**  $D_0|_{y=-1}$
2. **Correzione pendenza superf. libera:**  $h_{0,\sigma} \propto R_0$



## Il problema è ben posto?

Suddividiamo il meandro in un numero pari a N sezioni longitudinali

### INCOGNITE

Ogni sezione 2 variabili incognite:

- Profondità in sponda interna:  $D_{0/y=-1}$
- Correzione pendenza superf. libera:  $h_{0,\sigma}$



2N INCOGNITE

### EQUAZIONI

Ogni sezione 2 vincoli integrali:  $O(\delta^0)$

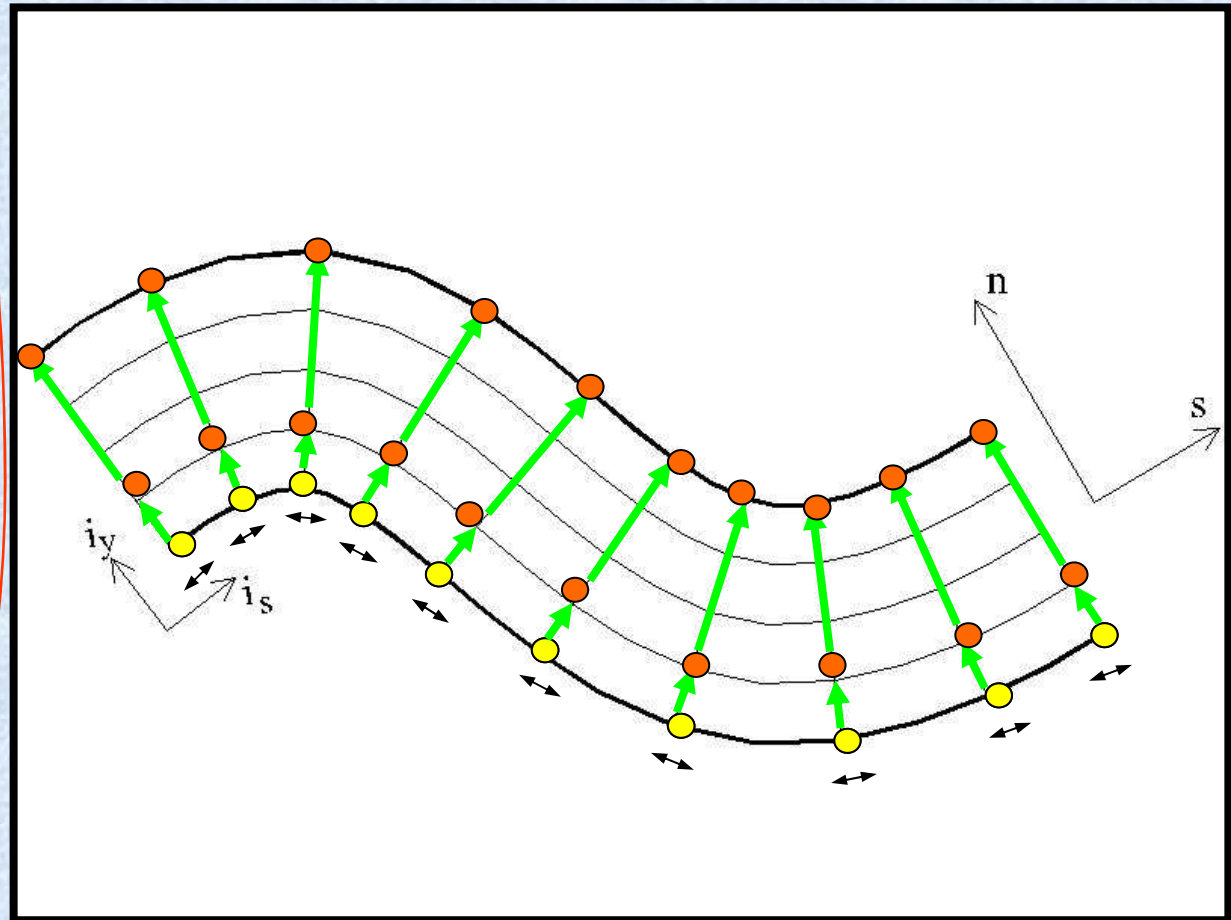
- portata liquida  $\frac{Q_u^*}{B_u^* D_u^* U_u^*} = \int_{-B}^B \int_{z_0}^{h_u^2} U_0 dz dn$
- portata solida  $\frac{Q_{su}^*}{\sqrt{(s-1)gd_s^{*3}}} = \int_{-B}^B q_{bs0} dn$



2N EQUAZIONI

## RISOLUZIONE NUMERICA

- Si ipotizzano i valori delle incognite su tutta la sponda  $y=-1$
- Si calcolano i valori locali delle funzioni e dei parametri necessari
- Si valutano le derivate longitudinali di tali funzioni
- Si integrano le equazioni integro-differenziali  $D_{,y}$  da  $i_y$  ad  $i_y+1$
- Si ricavano le  $D|_{y+1}$  per tutte le sezioni
- Si ripetono i passi precedenti sino alla sponda opposta
- In sponda esterna si calcolano i valori dei vincoli integrali



- Si variano i valori delle condizioni iniziali fino a soddisfare i vincoli integrali in tutte le sezioni, utilizzando un metodo del gradiente tipo Newton-Raphson



## SECONDO ORDINE

**Equazione lungo s**

$$N(U^2)_{,s} + (UV)_{,n} + (UW)_{,z} + 2Nv_0CUV = -N[h_{,s} - \beta_u C_{fu}] + \beta_u \sqrt{C_{fu}} (v_T U_{,z})_{,z}$$

$O(\delta)$

$$U_1 = R_0^{1/2} D_0^{1/2} F_1 \rightarrow \begin{cases} (NF_{1,\zeta})_{,\zeta} = +R_1 + \frac{1}{2} R_2 [F_0^2] + \frac{1}{2} R_3 [F_0 CG_1] \\ -\frac{3}{2} R_{2b} \left[ F_{0,\zeta} \int_{\zeta_0}^{\zeta} F_0 \right] - \frac{5}{2} R_3 \left[ F_{0,\zeta} \int_{\zeta_0}^{\zeta} CG_1 \right] \\ F_1|_{\zeta_0} = 0 \\ F_{1,\zeta}|_1 = 0 \end{cases}$$

**Al primo ordine compaiono i termini convettivi nella correzione del moto longitudinale**

**I coefficienti dipendono solo da  $\sigma, y$  e sono tutti già noti a meno delle incognite  $D_1(\sigma, y)$  e  $h_{01,\sigma}$**

$$R_1 = -\sqrt{C_{fu}} \left( \frac{D_1}{D_0} - \frac{U_{1,\zeta}}{U_{0,\zeta}} \Big|_{\zeta_0} \right) + y C \beta_u C_{fu} + \frac{h_{01,\sigma}}{R_0}; \quad R_2 = D_{0,\sigma} + \frac{D_0}{R_0} R_{0,\sigma}; \quad R_{2b} = D_{0,\sigma} + \frac{D_0}{3R_0} R_{0,\sigma};$$

$$R_3 = \frac{1}{\beta_u \sqrt{C_{fu}}} D_0 D_{0,y}$$



## SECONDO ORDINE

**Equazione lungo n**

$$N(UV)_{,s} + (V^2)_{,n} + (VW)_{,z} + Nv_0 C (V^2 - U^2) = -h_{,n} + \beta_u \sqrt{C_{fu}} (v_T V_{,z})_{,z}$$

$O(\delta^2)$

$$V_2 = CR_0^{1/2} D_0^{3/2} G_2 \rightarrow \left\{ \begin{array}{l} (NG_{2,\zeta})_{,\zeta} = a_2 + a_1 R_5 + \frac{R_{4b}}{C\sqrt{C_{fu}}} [F_0^2] + \frac{3}{2} \frac{R_{6b}}{C} [F_0 CG_1] + \frac{3}{2} \frac{R_3}{C} [(CG_1)^2] \\ -2[F_0 F_1] - \frac{3}{2} \frac{R_{2b}}{C} \left[ CG_{1,\zeta} \int_{\zeta_0}^{\zeta} F_0 \right] - \frac{5}{2} \frac{R_3}{C} \left[ CG_{1,\zeta} \int_{\zeta_0}^{\zeta} CG_1 \right] \\ + \frac{D_0}{C} \left[ F_0 \frac{\partial}{\partial \sigma} (CG_1) \right] \end{array} \right.$$

$G_2|_{\zeta_0} = 0$   
 $G_{2,\zeta}|_1 = 0$

$a_2(\sigma, y)$  funzione incognita indipendente da  $\zeta$   
 $G_2(\sigma, y, \zeta) = a_2(\sigma, y) G_{21}(\zeta) + G_{22}(\zeta)$

**Al secondo ordine compaiono i termini convettivi nella correzione del moto secondario**

**I coefficienti dipendono solo da  $\sigma, y$  e sono tutti già noti a meno delle incognite  $D_1(s, y)$  e  $h_{01, \sigma}$**

$$R_5 = \left( \frac{D_1}{D_0} - \frac{U_{1,\zeta}}{U_{0,\zeta}} \Big|_{\zeta_0} \right) \quad R_{4b} = \left( -R_5 + yC\beta_u \sqrt{C_{fu}} \right) \quad R_{6b} = D_{0,\sigma} + \frac{D_0}{3R_0} R_{0,\sigma}$$



## SECONDO ORDINE

### Equazione di continuità

$$NU_{,s} + Nv_0 CV + V_{,n} + W_{,z} = 0$$

$$O(\delta^2)$$

$$a_2 = a_{20} - \frac{a_{21}}{CR_0^{1/2} D_0^{5/2}} \left\{ Cq_{y1}y + \frac{\partial}{\partial \sigma} \int_{-1}^y q_{\sigma 1} + \frac{1}{\beta_u \sqrt{C_{fu}}} D_1 \int_{\zeta_0}^1 V_1 \right\}$$

$$q_{\sigma 1}(\sigma, y) = D_0 \int_{\zeta_0}^1 U_1 + D_1 \int_{\zeta_0}^1 U_0 \quad \text{Portata liquida longitudinale } O(\delta)$$

$$q_{y1}(\sigma, y) = D_0 \int_{\zeta_0}^1 V_1 \quad \text{Portata liquida trasversale } O(\delta)$$



## SECONDO ORDINE

### Equazione di Exner

$$N(q_{bs})_{,s} + Nv_0 C q_{bn} + (q_{bn})_{,n} = 0$$

$O(\delta^2)$

$$D_{1,y} = \frac{\sqrt{D_0 R_0}}{R \Phi_0} \left\{ \begin{array}{l} + q_{by1} \frac{U_{1,\zeta}}{U_{0,\zeta}} \Big|_{\zeta_0} - \frac{\Phi_1}{\Phi_0} q_{by1} - \beta_u \sqrt{C_{fu}} C_y q_{by1} \\ - \Phi_0 \frac{V_{2,\zeta}}{U_{0,\zeta}} \Big|_{\zeta_0} - \beta_u \sqrt{C_{fu}} \frac{\partial}{\partial \sigma} b_0 \int_{-1}^y q_{b\sigma 1} \end{array} \right\} + F_u^2 h_{1,y}$$

$q_{b\sigma 1}$  Portata solida longitudinale  $O(\delta)$

$q_{by1}$  Portata solida trasversale  $O(\delta)$

#### Incognite:

1. **Correzione profondità in sponda interna:**  $D_{1/y} = -1$
2. **Correzione pendenza superf. libera:**  $h_{01,\sigma}$

#### Vincoli integrali: $O(\delta)$

1. **Portata liquida**  $\frac{Q_u^*}{B_u^* D_u^* U_u^*} = \int_{-B}^B \int_{z_0}^{h F_u^2} U_1 dz dn$
2. **Portata solida**  $\frac{Q_{su}^*}{\sqrt{(s-1) g d_s^{*3}}} = \int_{-B}^B q_{bs1} dn$

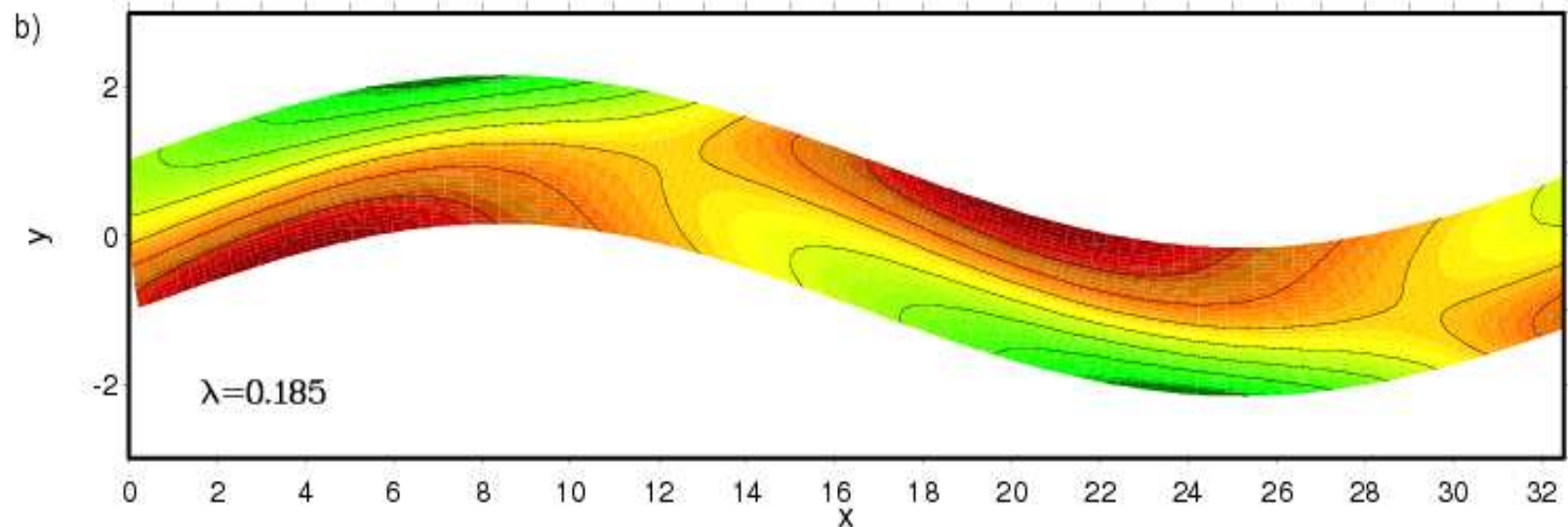
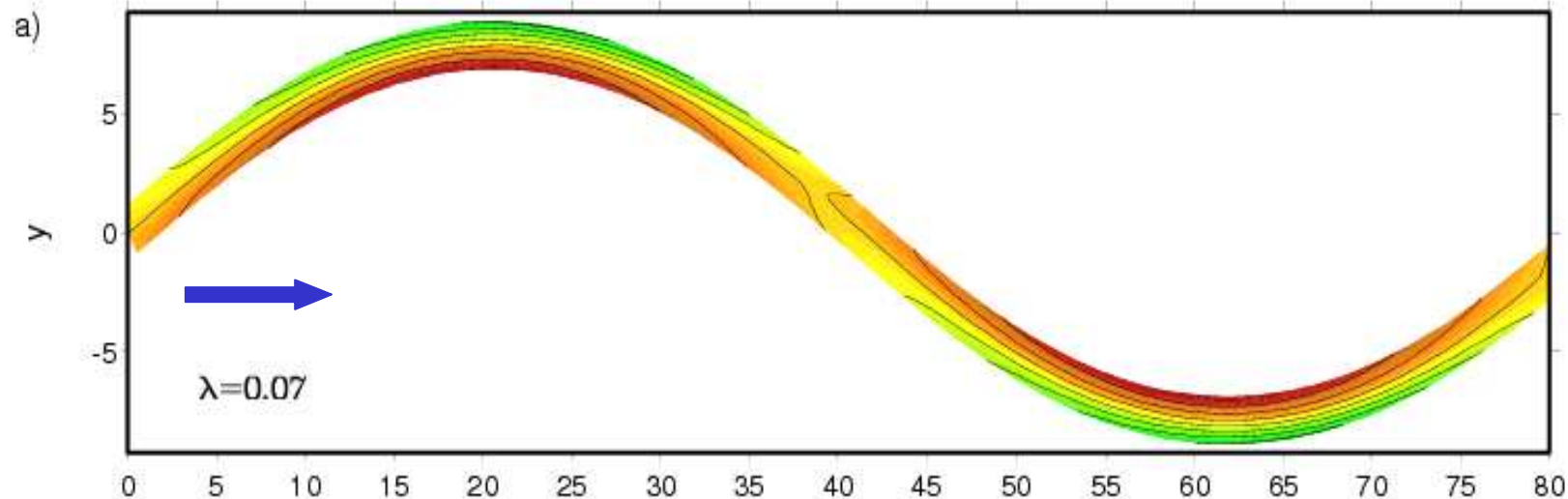


## **RISULTATI PRELIMINARI**

**Canale a larghezza costante**

## Variazione della quota del fondo $\Delta\eta$ rispetto alla configurazione iniziale

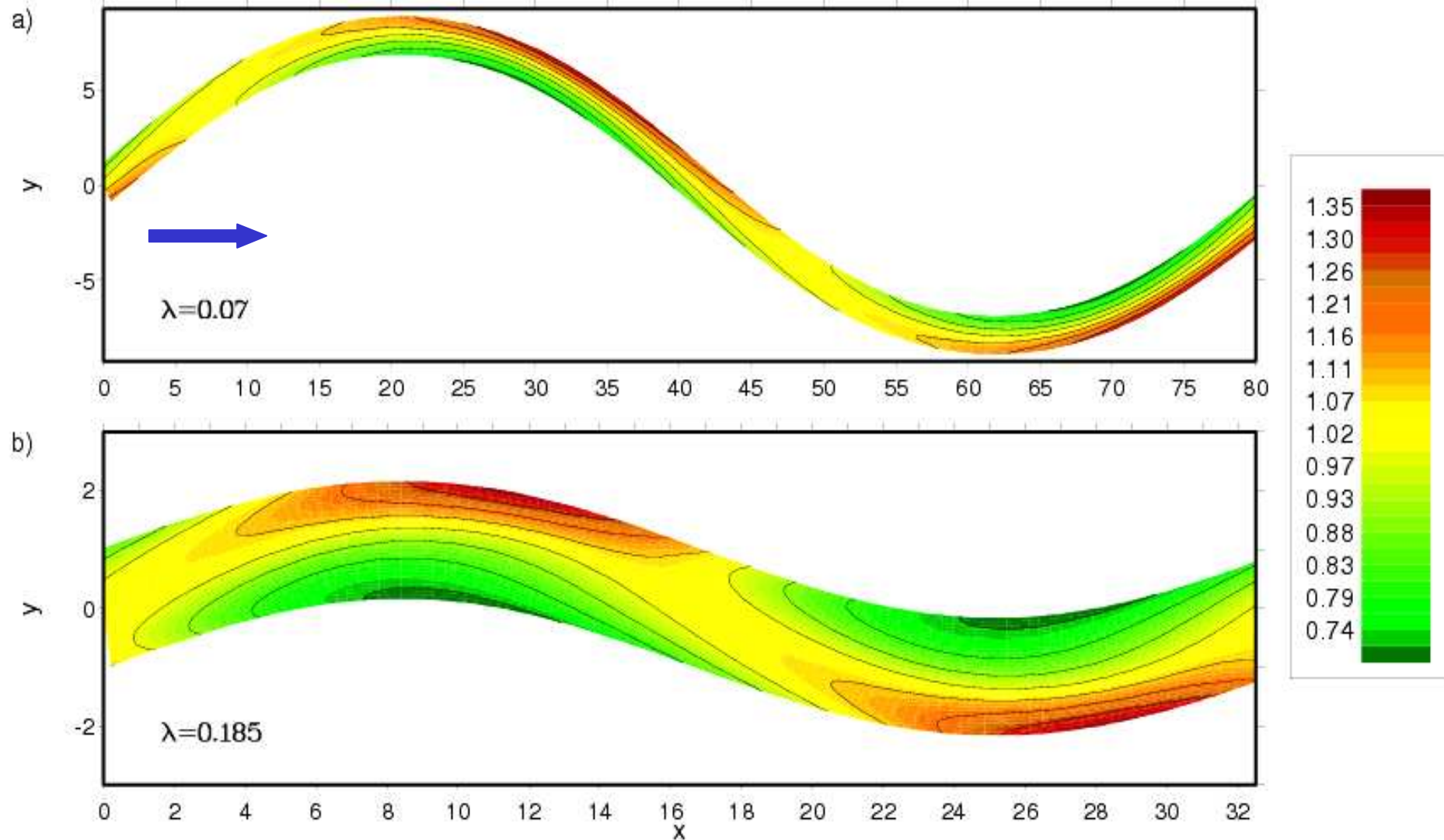
$$v_0 = 0.04 - d_{50} = 0.005 - \beta = 7.0 - \theta = 0.1$$





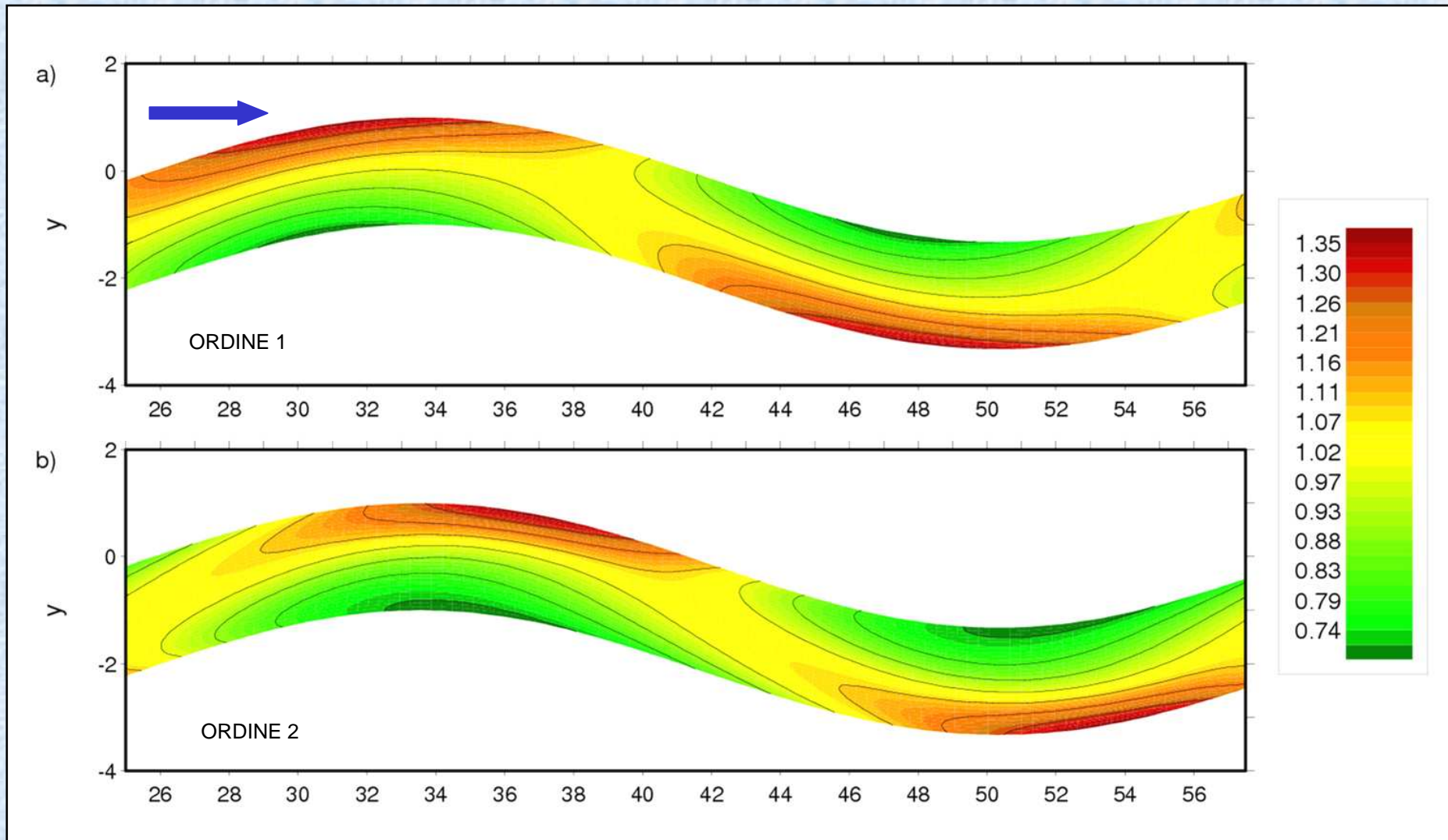
## Velocità longitudinale U integrata sulla verticale

$$v_0 = 0.04 - d_{50} = 0.005 - \beta = 7.0 - \theta = 0.1$$

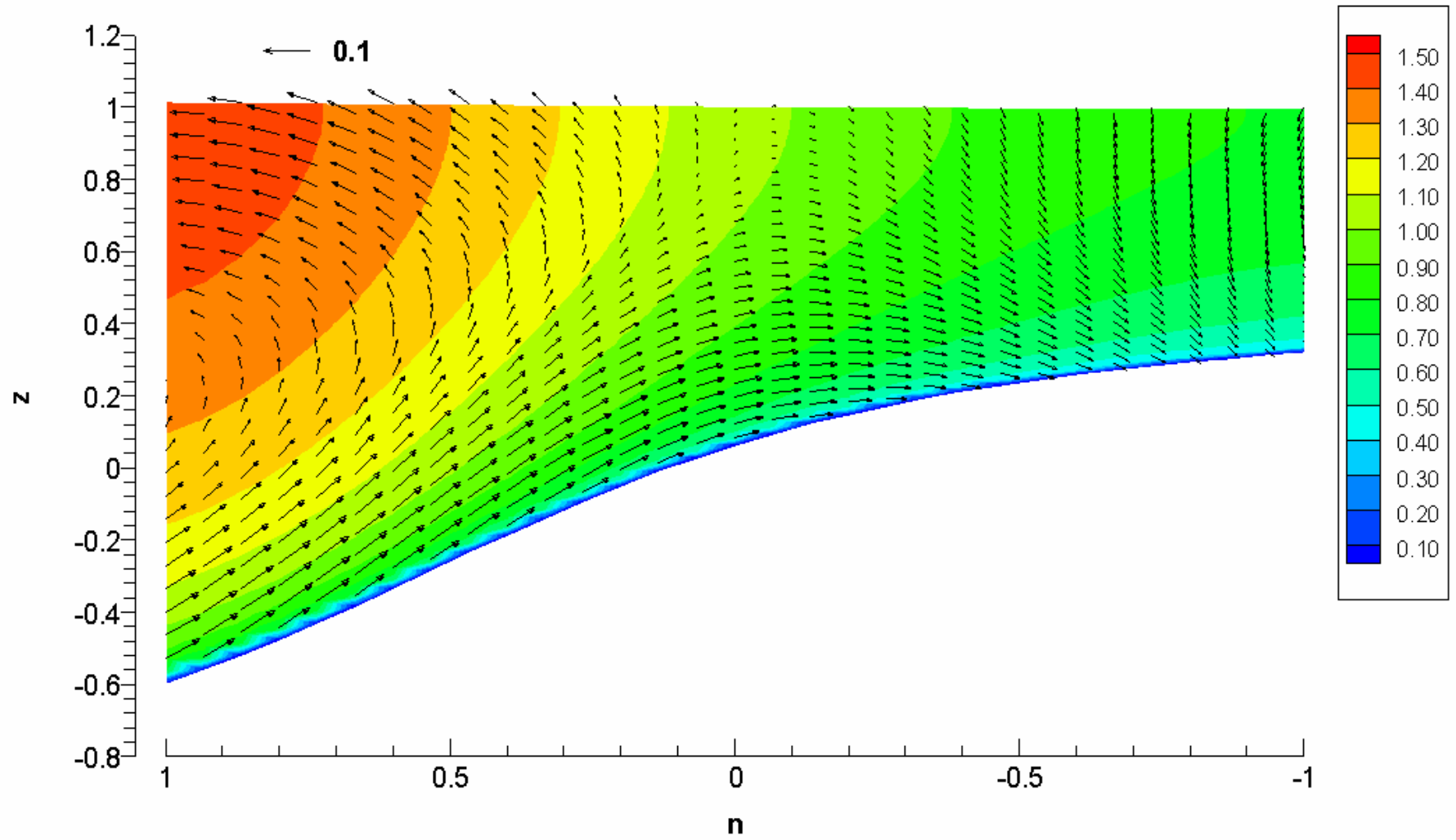


## Velocità longitudinale U integrata sulla verticale

$$v_0 = 0.04 - d_{50} = 0.005 - \beta = 7.0 - \theta = 0.1 - \lambda = 0.185$$

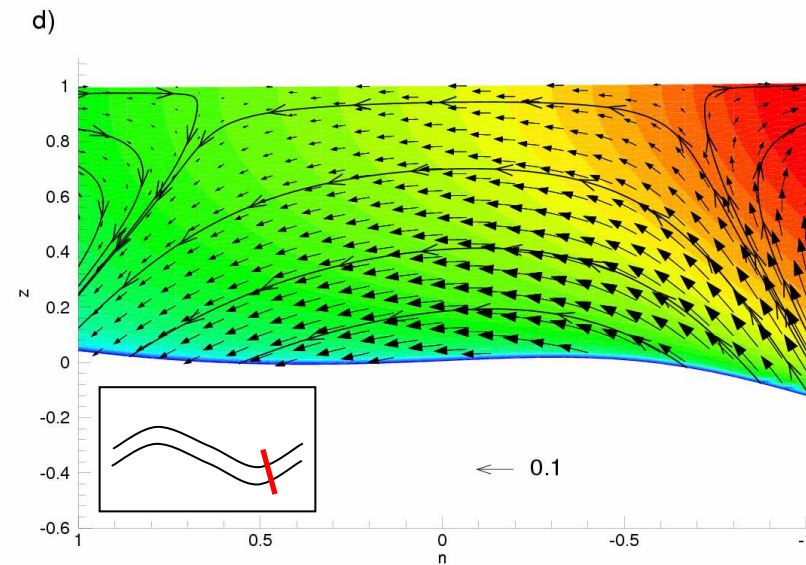
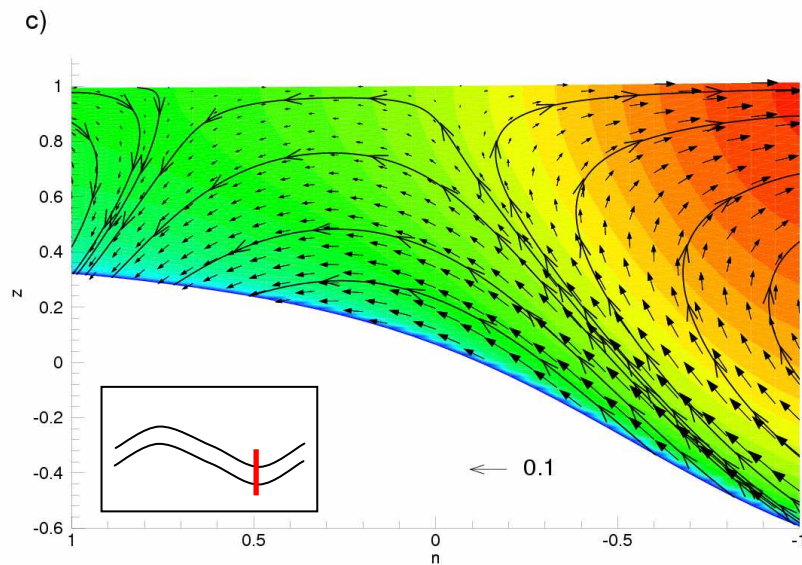
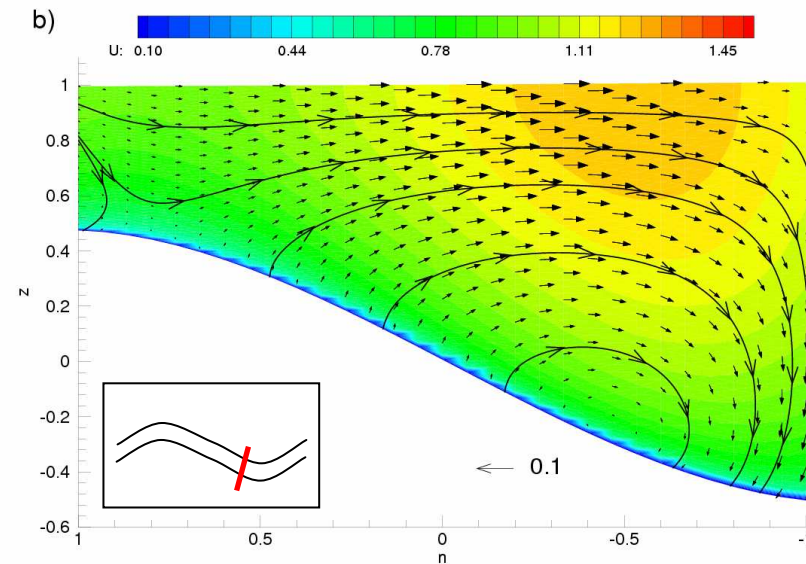
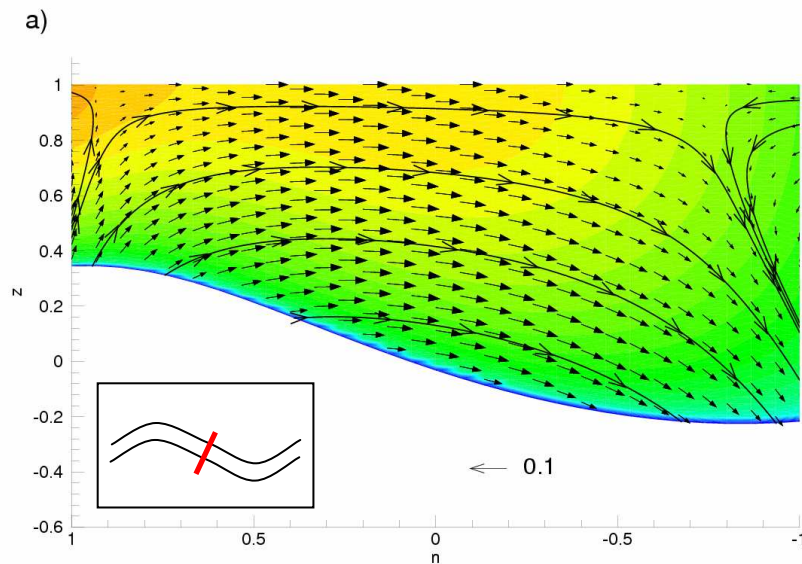






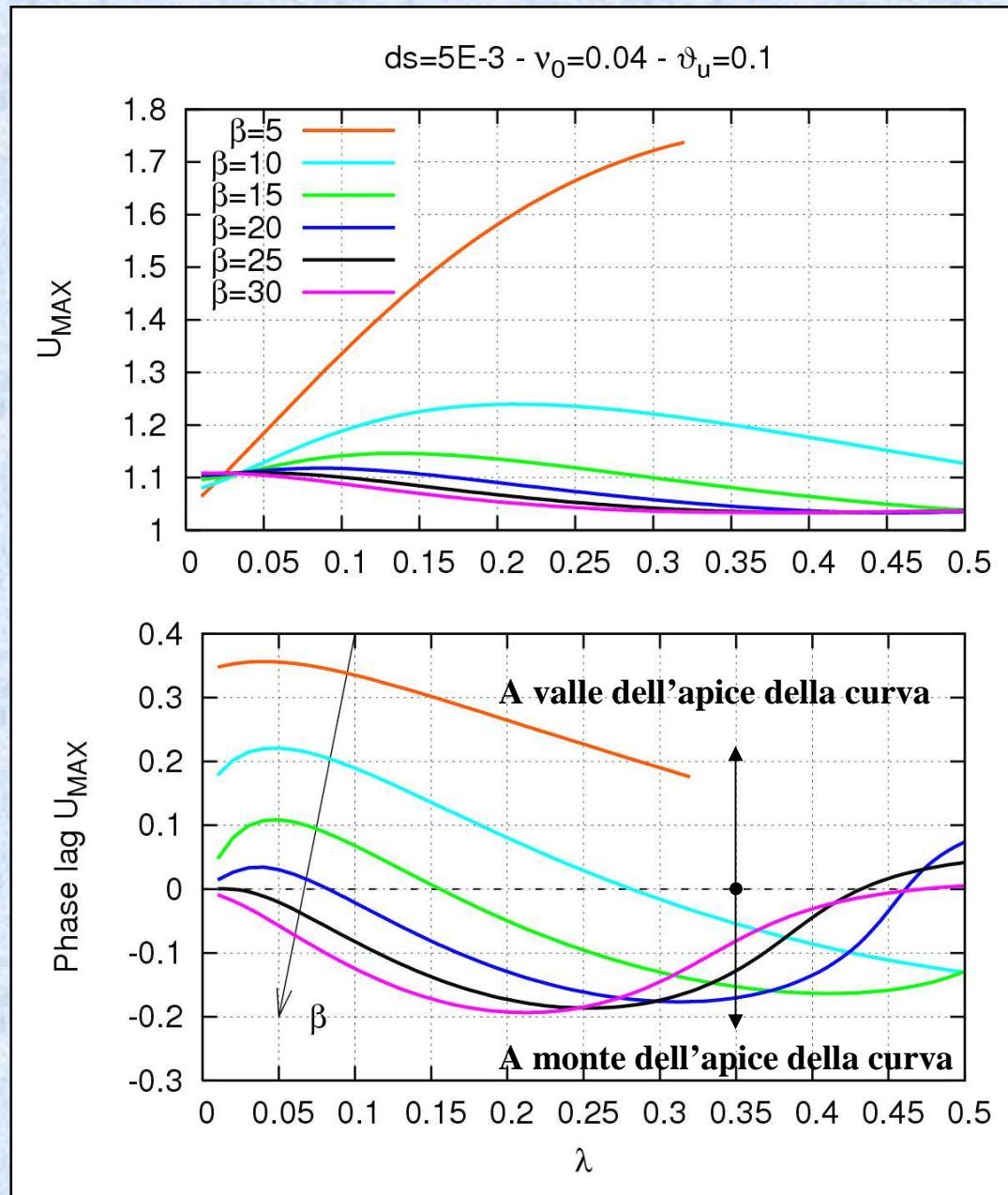
# Campo di moto in sezioni trasversali

$$v_0 = 0.04 - d_{50} = 0.005 - \beta = 7.0 - \theta = 0.1 - \lambda = 0.185$$





# Massimo della velocità longitudinale integrata sulla verticale U – Phase lag



# EVOLUZIONE PLANIMETRICA dei MEANDRI

MODELLO MORFODINAMICO + LEGGE DI EROSIONE

**EVOLUZIONE PLANIMETRICA**

(Zolezzi et al., JFM 2001)

**LEGGE di EROSIONE**

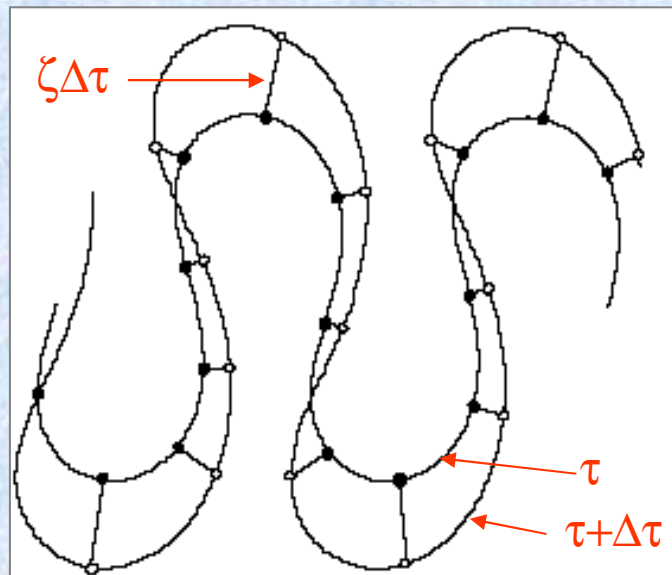
(Ikeda, Parker & Sawai, JFM 1981)

velocità di migrazione dell'asse

$$\zeta = E(U_{n=1} - U_{n=-1})$$

coefficiente adimensionale di erodibilità delle sponde

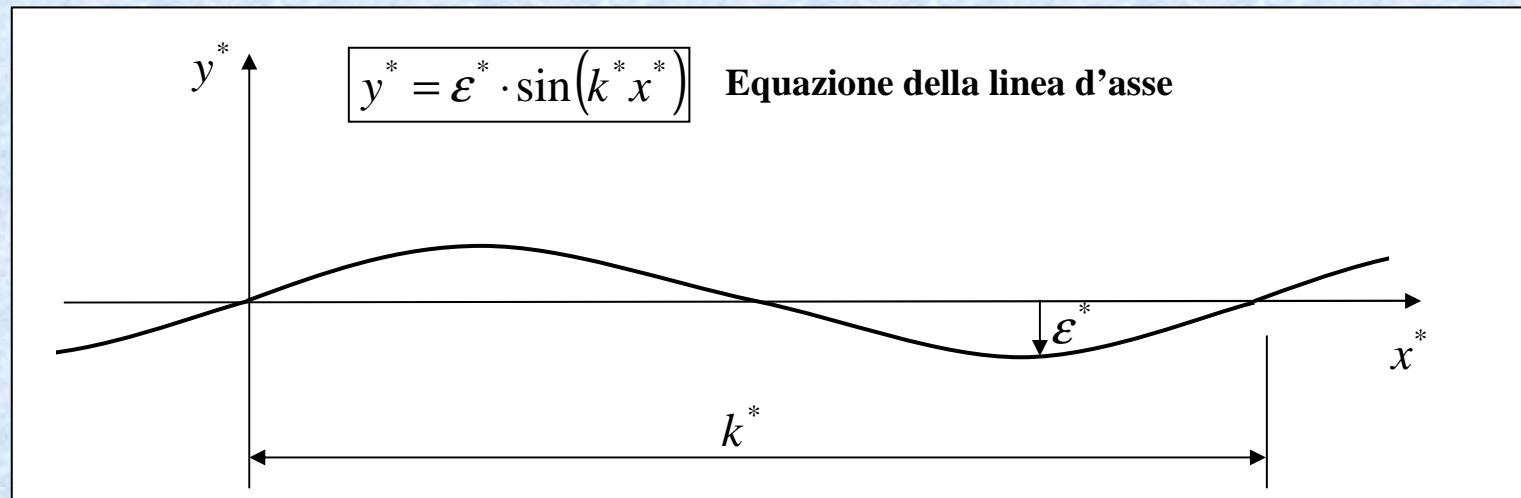
componente longitudinale, mediata sulla profondità, della velocità della corrente





## ANALISI DI STABILITA' PLANIMETRICA

Qual'è la lunghezza d'onda selezionata nel processo di formazione del meandro?



Fissato  $\varepsilon$  – Variando  $k$   $\longrightarrow$   $(v_0 = \varepsilon \cdot k^2)$

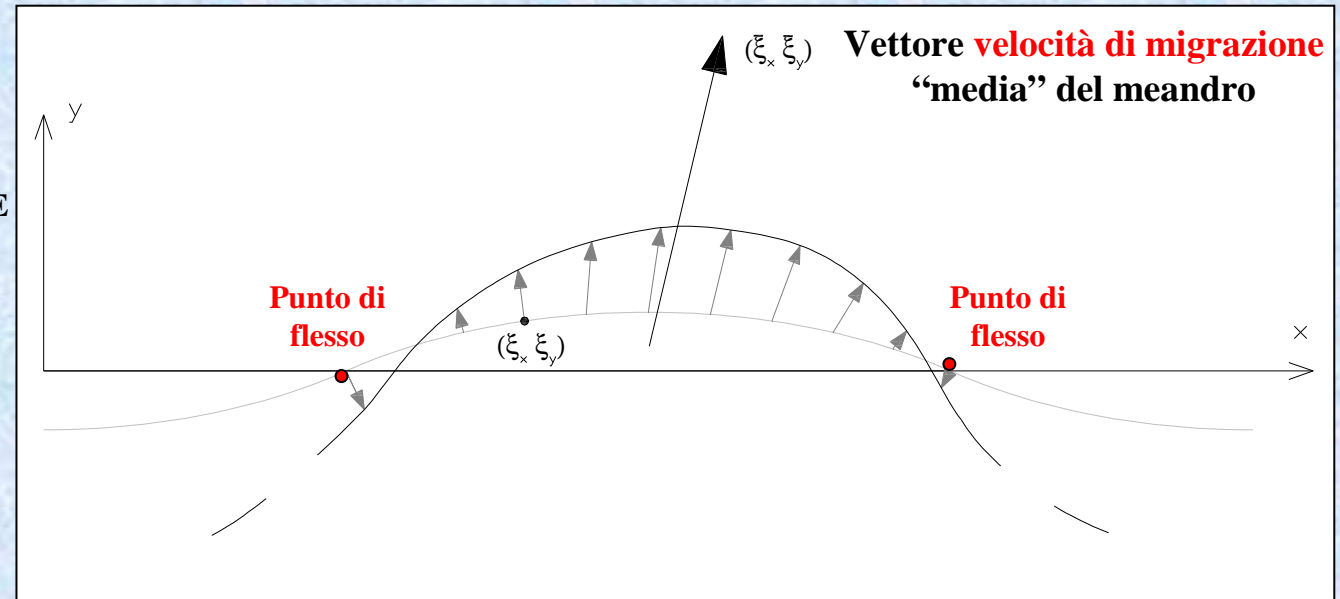
- Il meandro tende ad amplificarsi o ad attenuarsi?
- Il meandro migra verso valle o verso monte?

# ANALISI DI STABILITA' PLANIMETRICA

## Criteri per l'amplificazione e la migrazione

### 1. Criterio integrale

$\overline{\zeta_x} \rightarrow$  MIGRAZIONE  
 $\overline{\zeta_y} \rightarrow$  AMPLIFICAZIONE



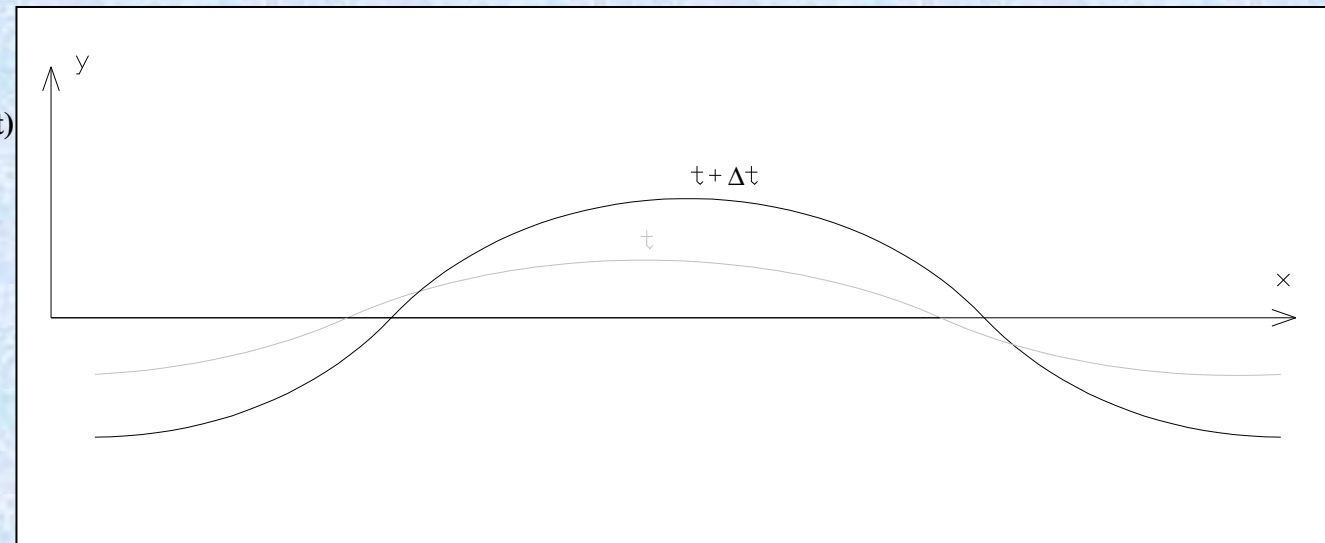
### 2. Criterio armonico

Ampiezza della fondamentale ( $t+\Delta t$ )

$\hookrightarrow$  AMPLIFICAZIONE

Fase della fondamentale ( $t+\Delta t$ )

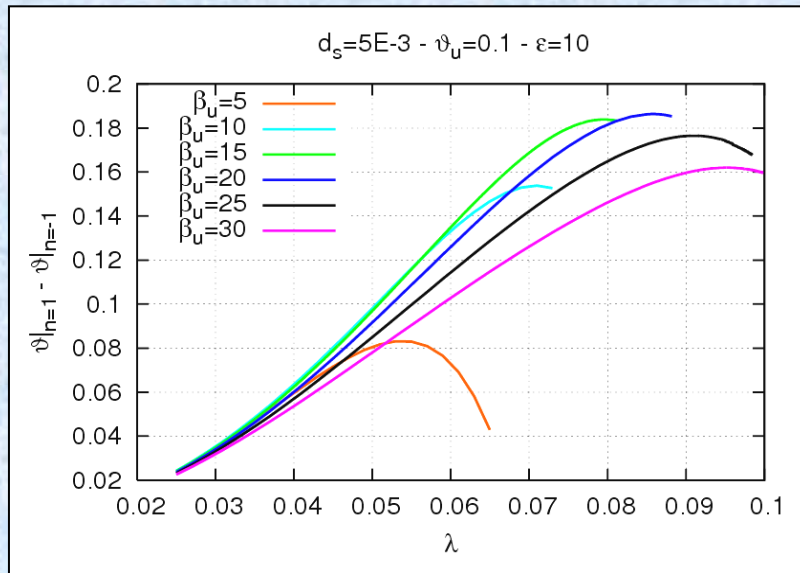
$\hookrightarrow$  MIGRAZIONE



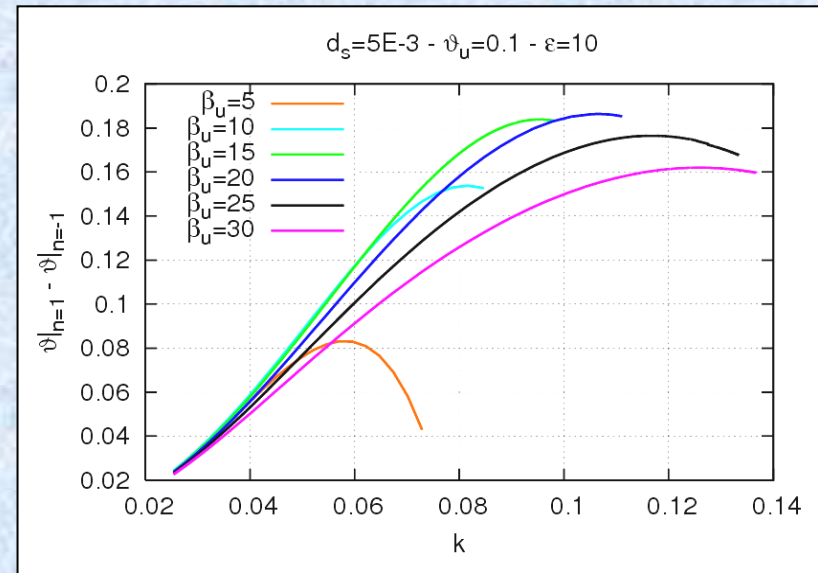


# ANALISI DI STABILITA' PLANIMETRICA

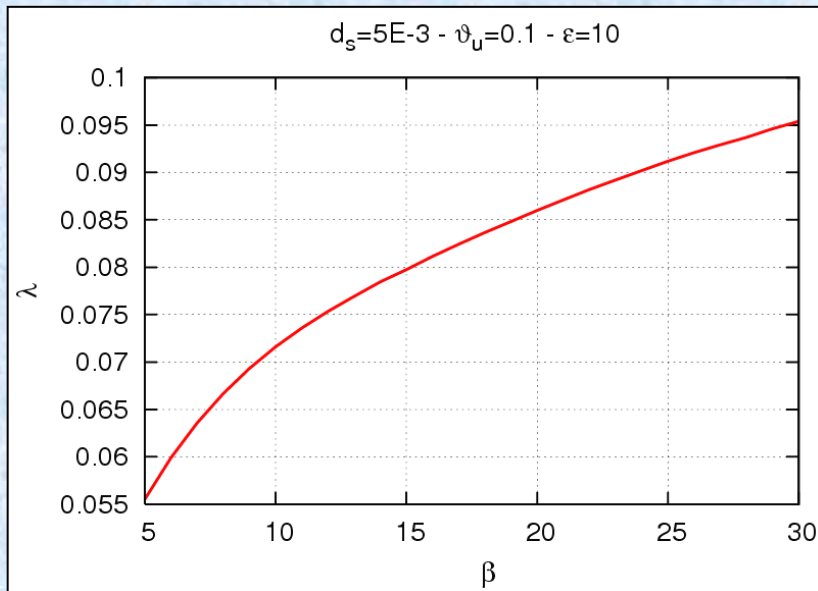
Amplificazione



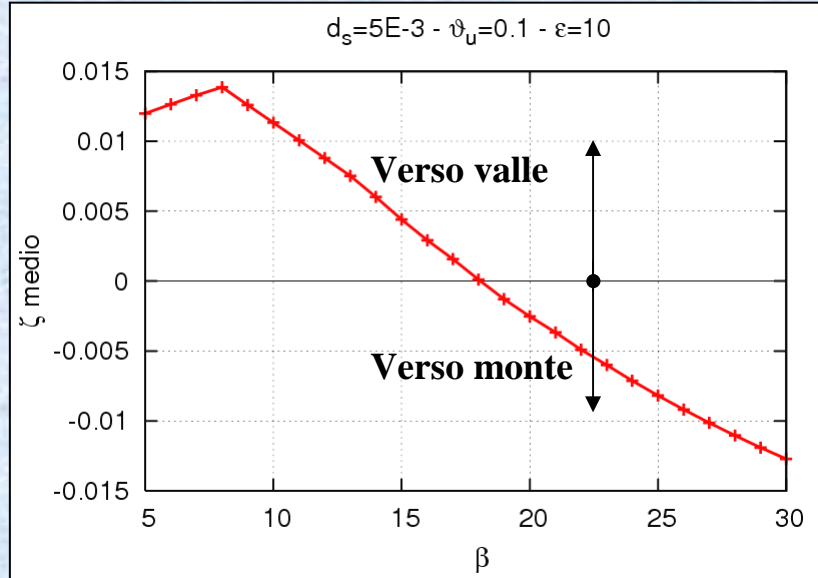
Amplificazione



Numero d'onda selezionato

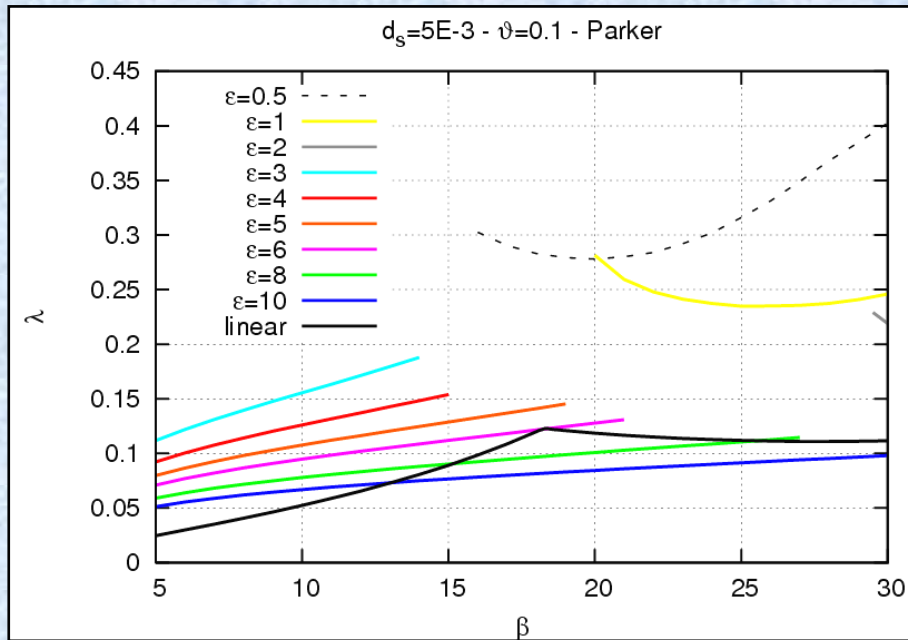


Migrazione

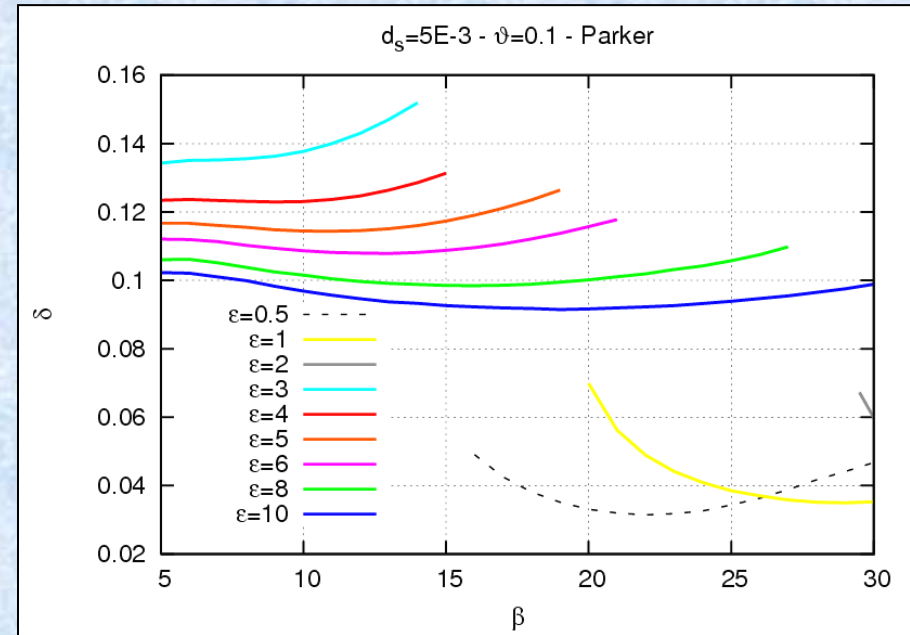


# ANALISI DI STABILITA' PLANIMETRICA

## Numero d'onda selezionato

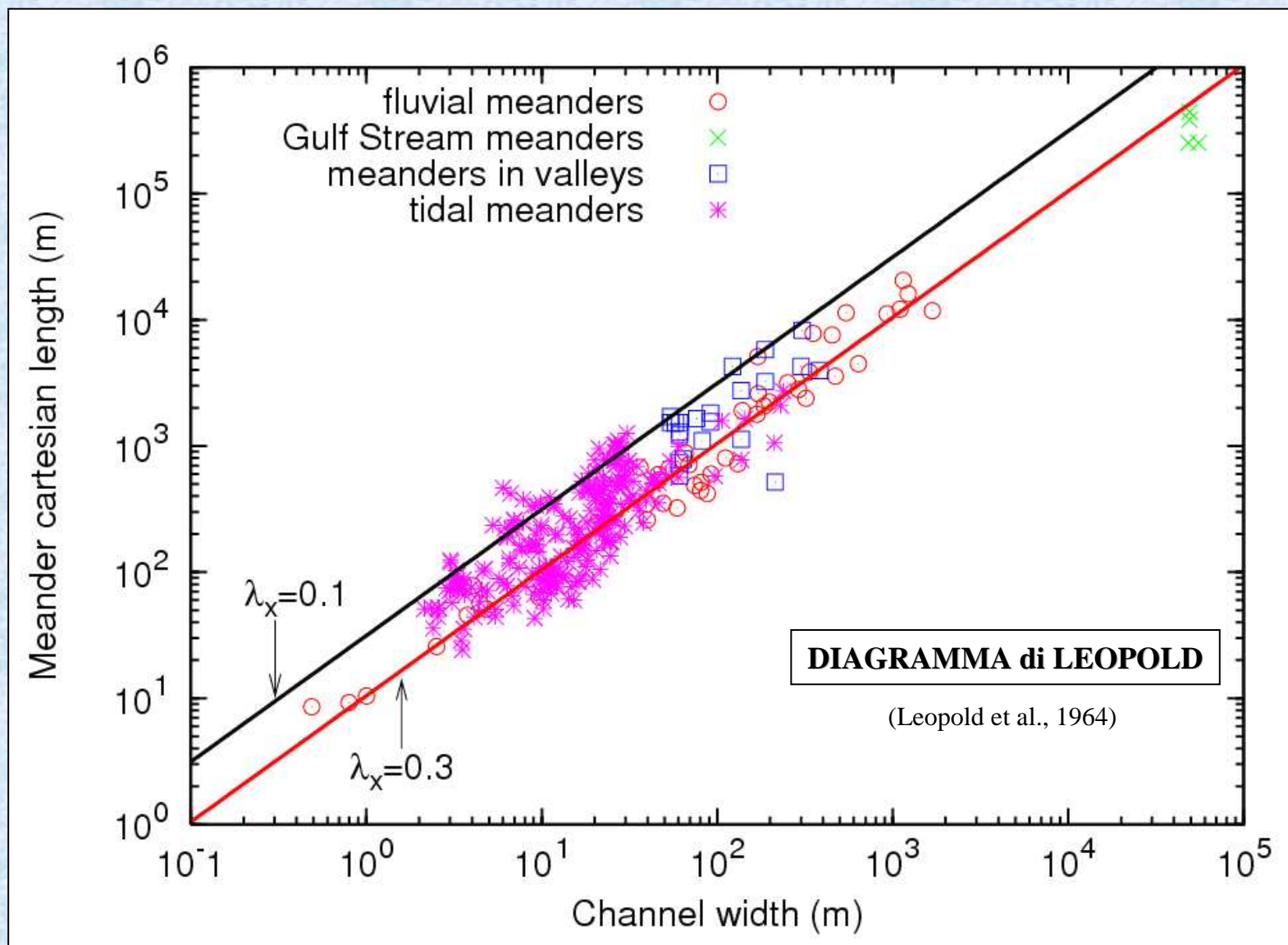


## Parametro perturbativo





## CONFRONTO CON DATI DI CAMPO

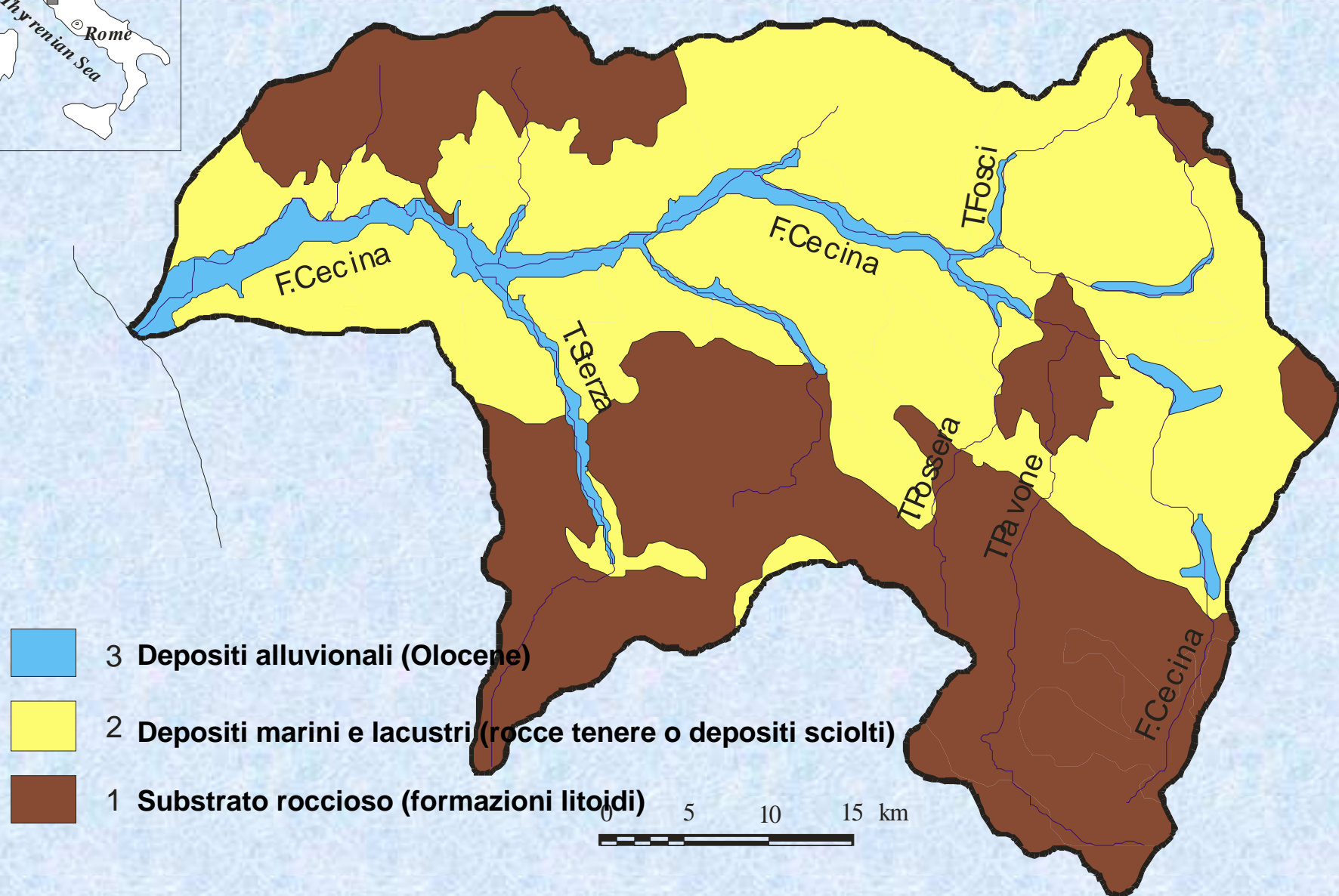


## Validazione del modello

- **Confronto con un modello 3D (Dipartimento MOX – Milano)**
- **Confronto con misure di laboratorio**
- **Confronto con dati campo (Fiume Cecina – Toscana)**



# INQUADRAMENTO AREA DI STUDIO



## INQUADRAMENTO AREA DI STUDIO

Area: 634 km<sup>2</sup>

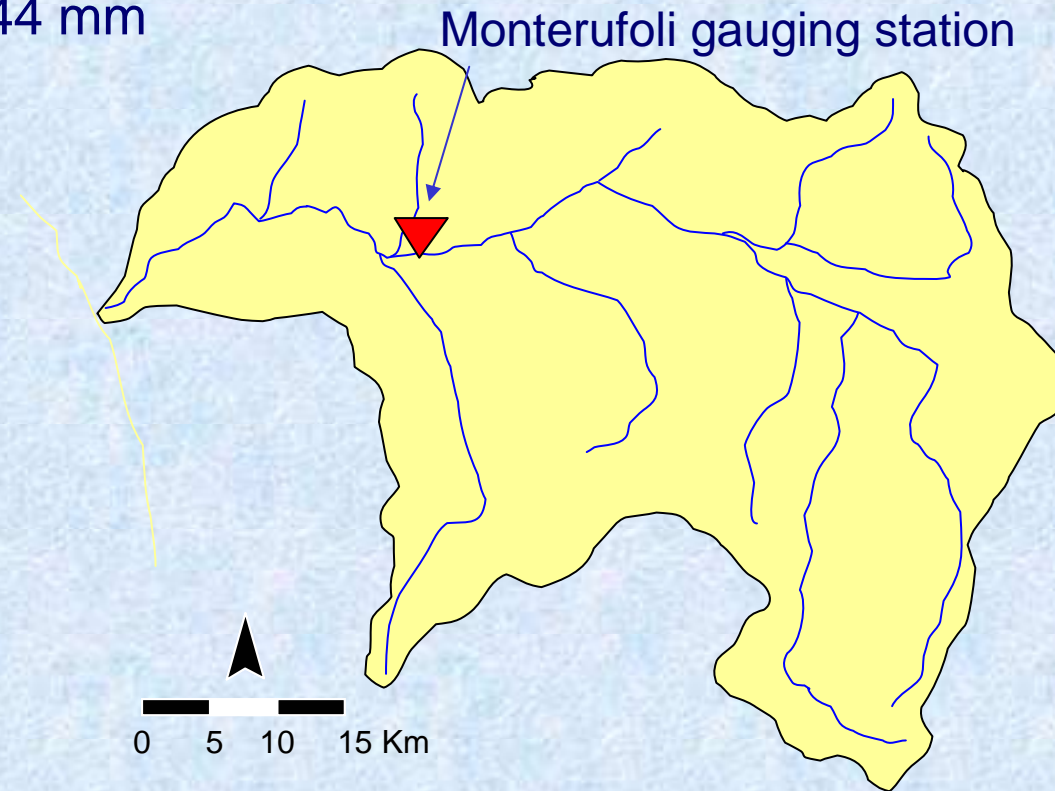
Length: 53 km

Average basin elevation: 309 m a.s.l.

$\Delta H$ : 1018 m

Average annual runoff: 944 mm

$Q_{\text{mean}}$ : 7.61 m<sup>3</sup> s<sup>-1</sup>



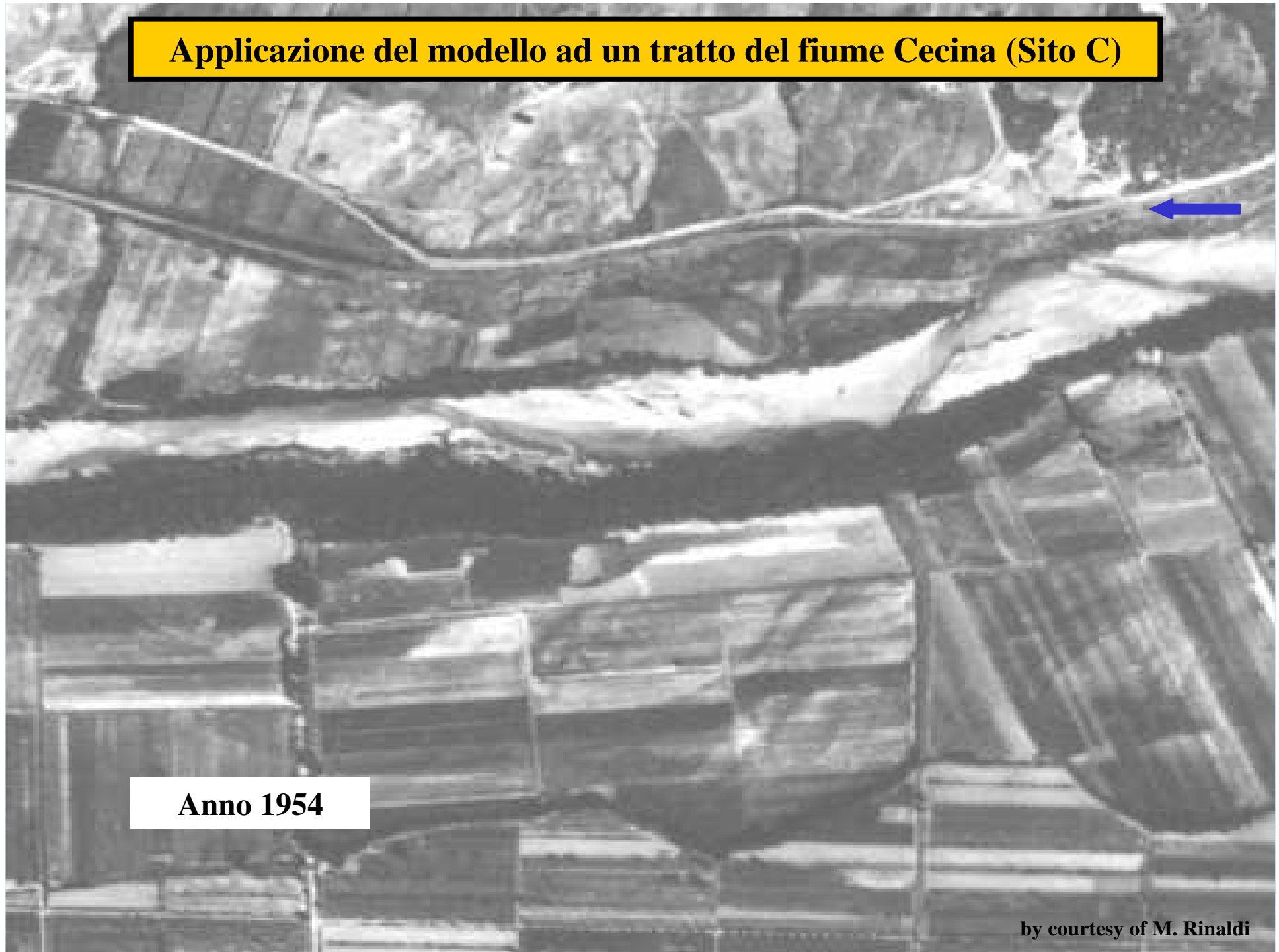


# SITO C



by courtesy of M. Rinaldi

**Applicazione del modello ad un tratto del fiume Cecina (Sito C)**



**Anno 1954**

by courtesy of M. Rinaldi

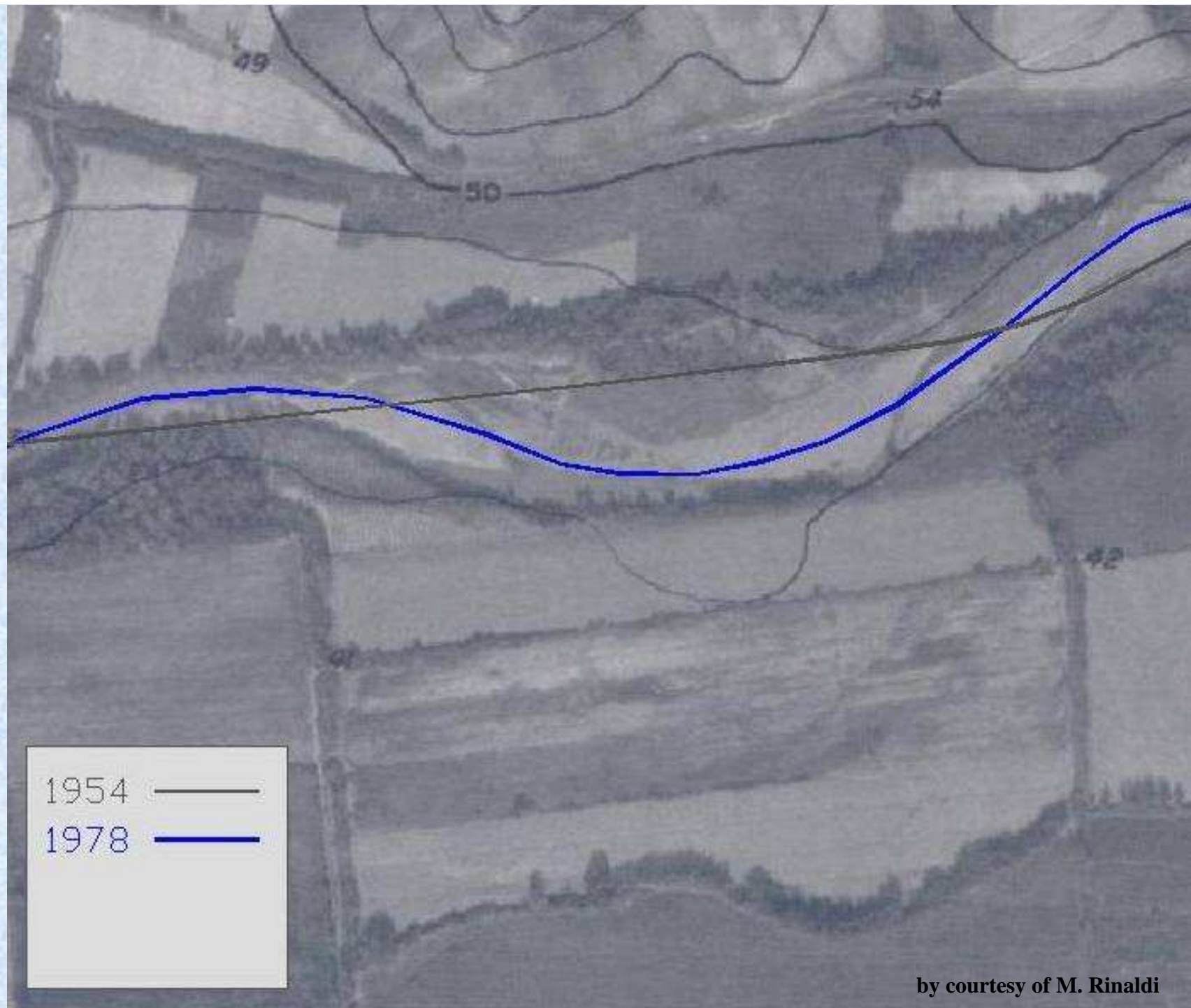


## Applicazione del modello ad un tratto del fiume Cecina (Sito C)



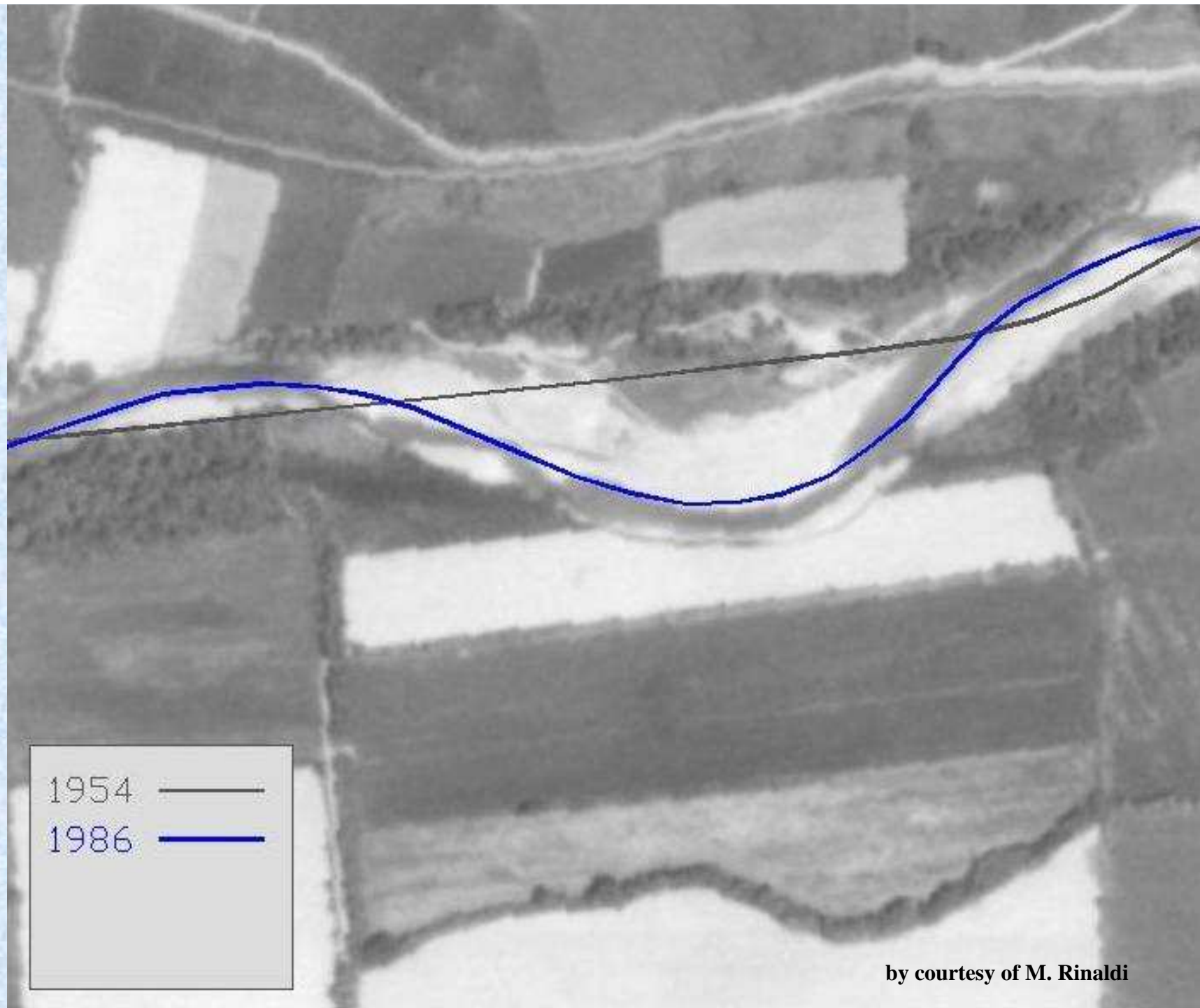
1954 ———

by courtesy of M. Rinaldi

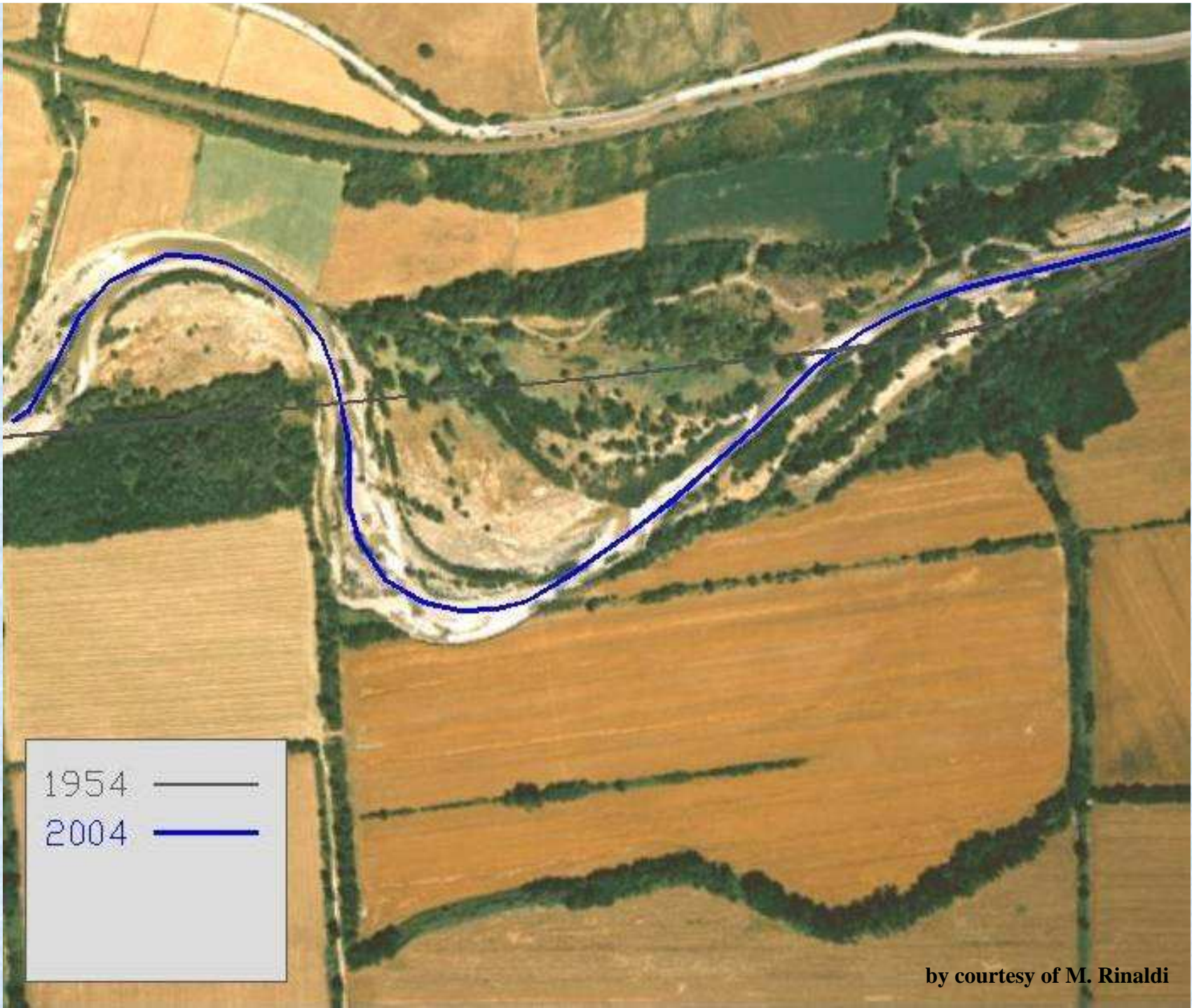


by courtesy of M. Rinaldi



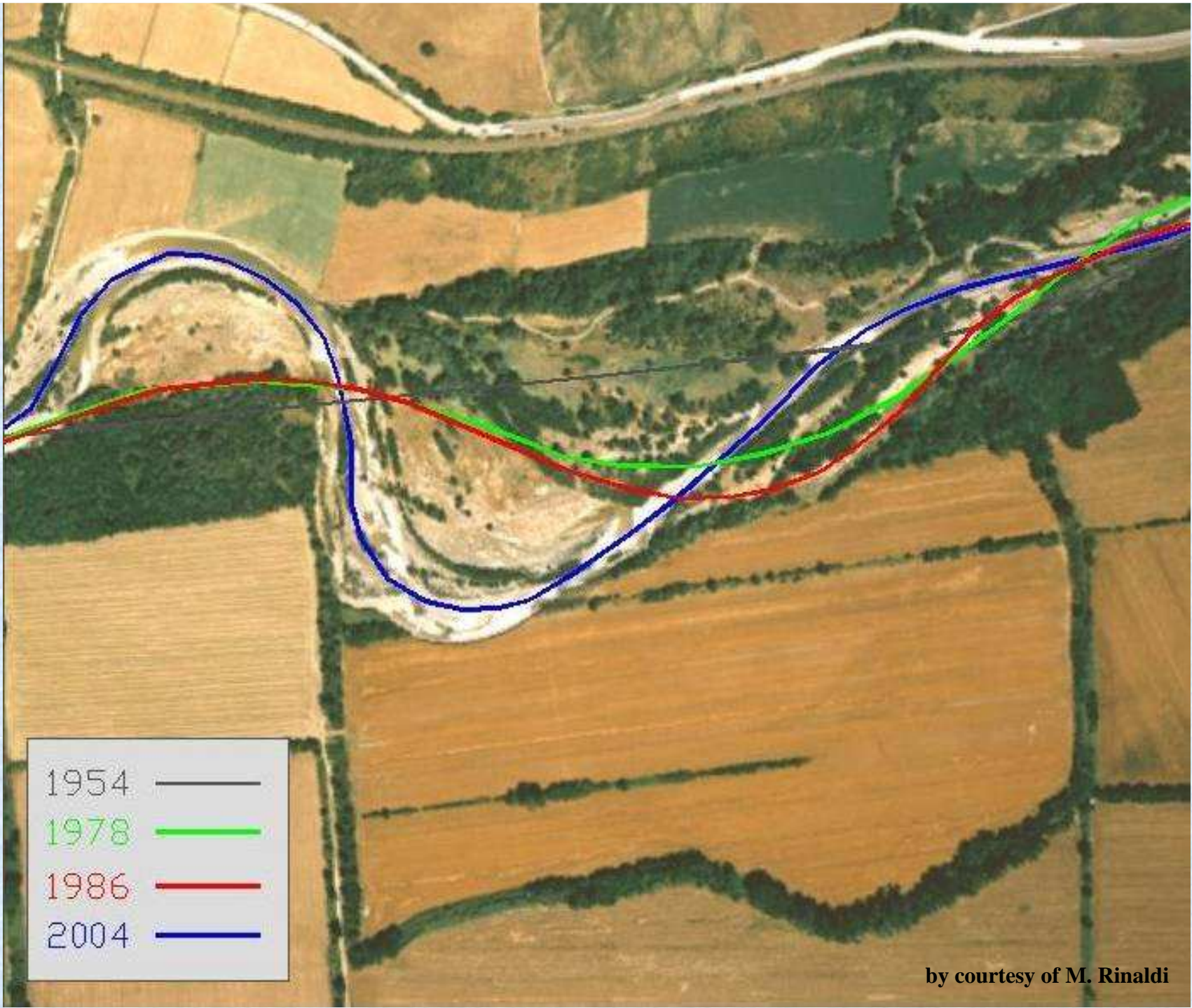


by courtesy of M. Rinaldi



by courtesy of M. Rinaldi





by courtesy of M. Rinaldi



# FIUME CECINA: SITO C (2004)



0 40 80 160 240 320 Meters

## Legenda

- Alveo 2004
- Alveo 2000
- Alveo 1994
- Alveo 1986
- Alveo 1954

by courtesy of M. Rinaldi



## Applicazione del modello ad un tratto del fiume Cecina (Sito C) Configurazione planimetrica del 1978

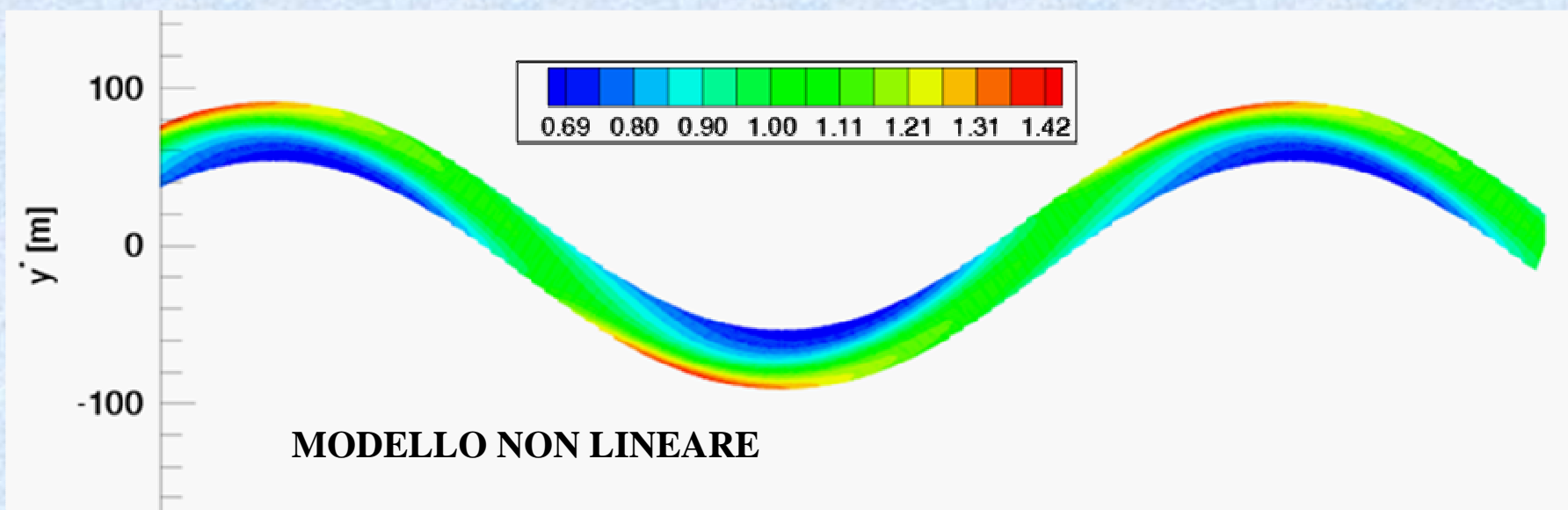
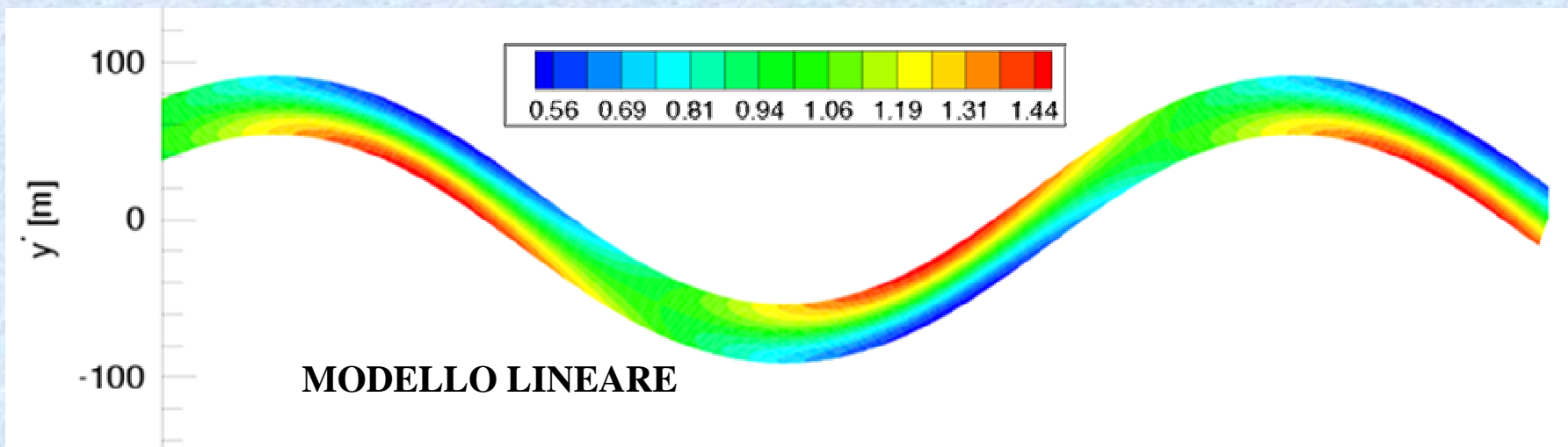
### Dati di input:

- **Larghezza:**  $2B_u^* \cong 40 \text{ m}$
- **Pendenza media:**  $i_f \cong 0.002$
- **Raggio di curvatura minimo:**  $R_0^* \cong 320 \text{ m}$
- **Lunghezza d'onda intrinseca:**  $L_s^* \cong 970 \text{ m}$
- **Profondita' di "bankfull":**  $D_0^* \cong 1.3 \text{ m}$
- **Portata liquida di "bankfull":**  $Q \cong 110 \text{ m}^3/\text{s}$
- **Diametro medio dei sedimenti:**  $d_{50}^* \cong 7.4 \text{ mm}$

### Parametri adimensionali:

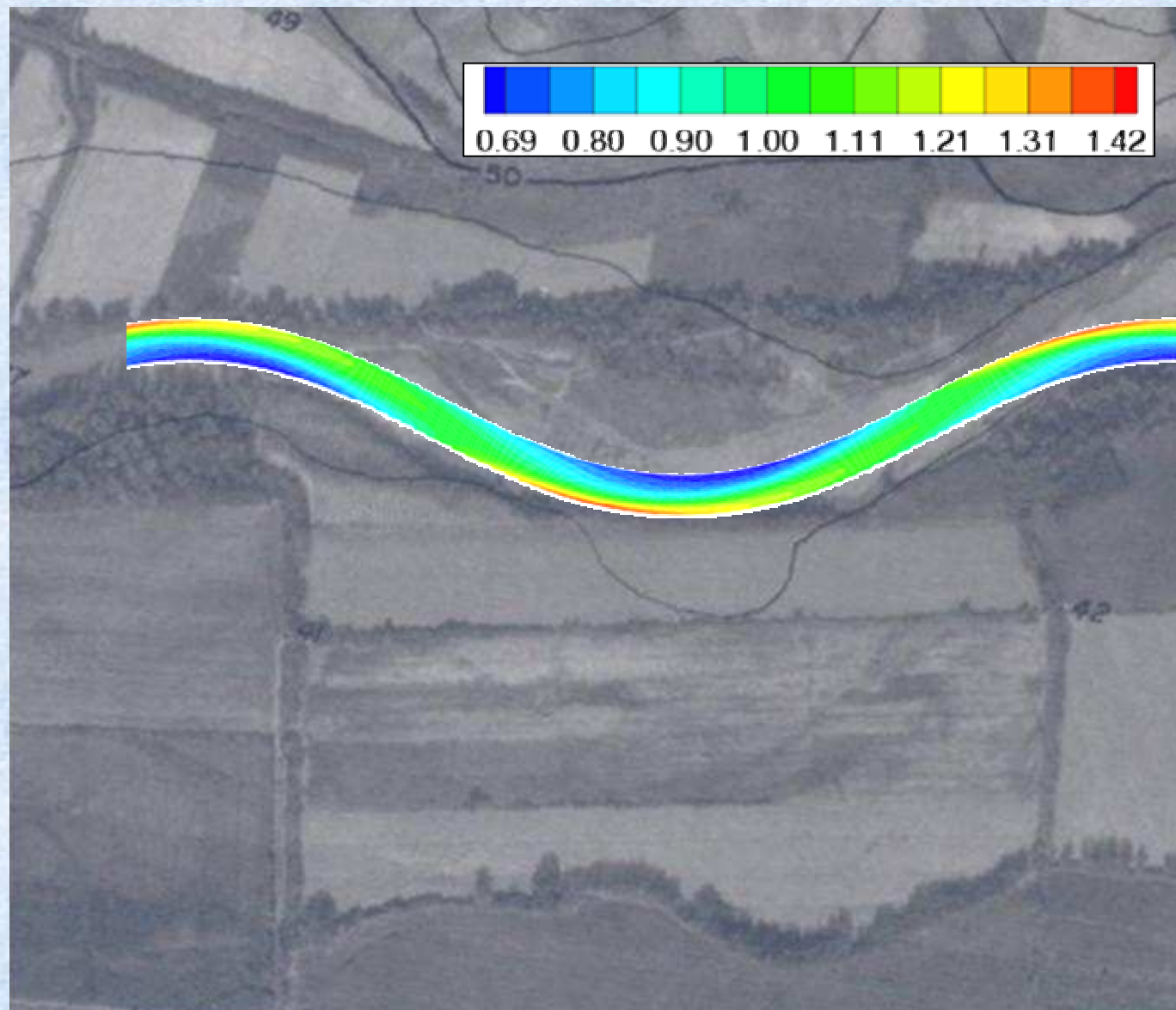
- **Rapporto semilarghezza/profondità:**  $\beta_u \cong 15.2$
- **Parametro di Shields:**  $\vartheta_u \cong 0.210$
- **Parametro di curvatura:**  $\nu_0 \cong 0.062$
- **Numero d'onda:**  $\lambda \cong 0.129$
- **Parametro "perturbativo":**  $\delta \cong 0.068$
- **Scabrezza relativa:**  $d_{50} \cong 5.6 \cdot 10^{-3}$

## Velocità longitudinale U integrata sulla verticale

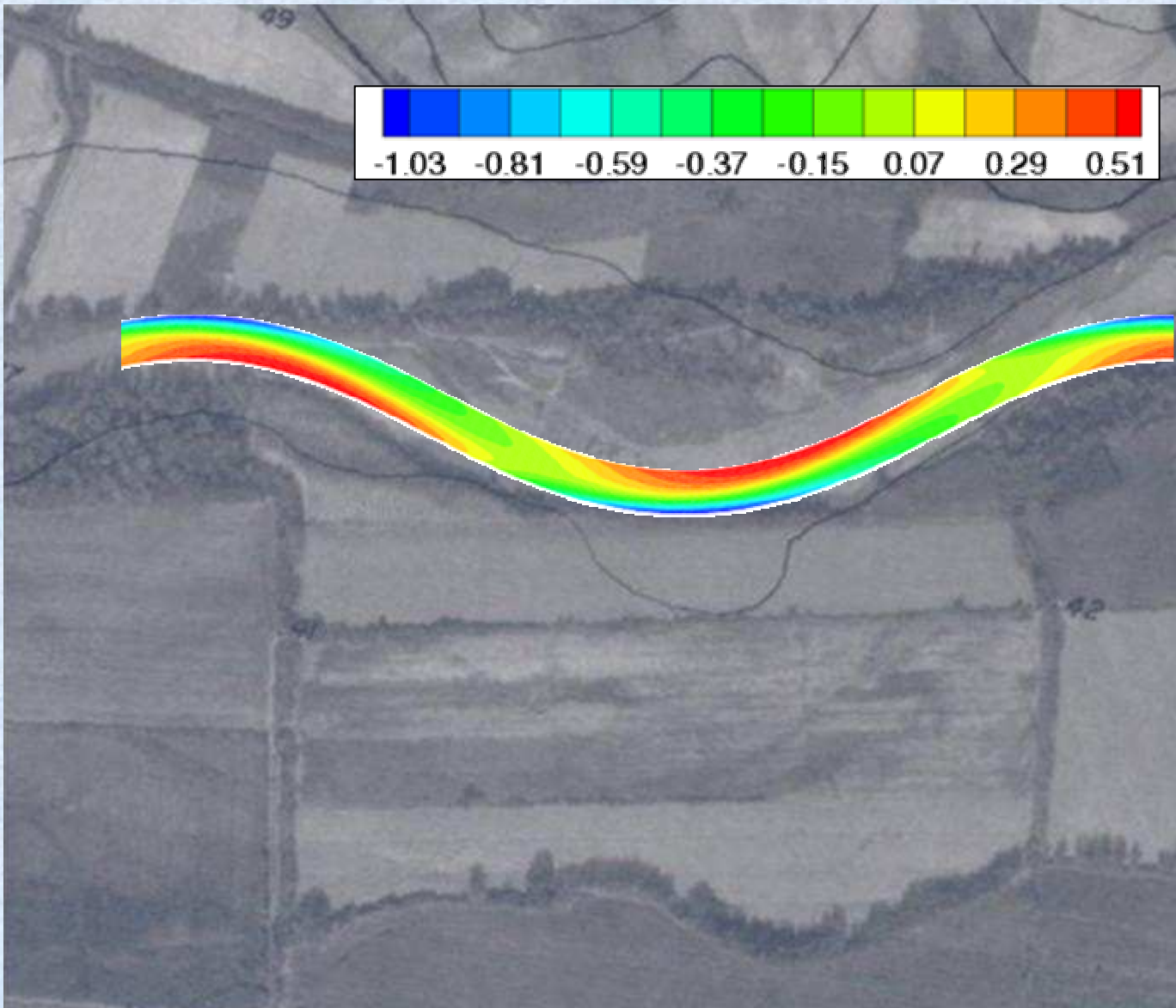




## Velocità longitudinale U integrata sulla verticale

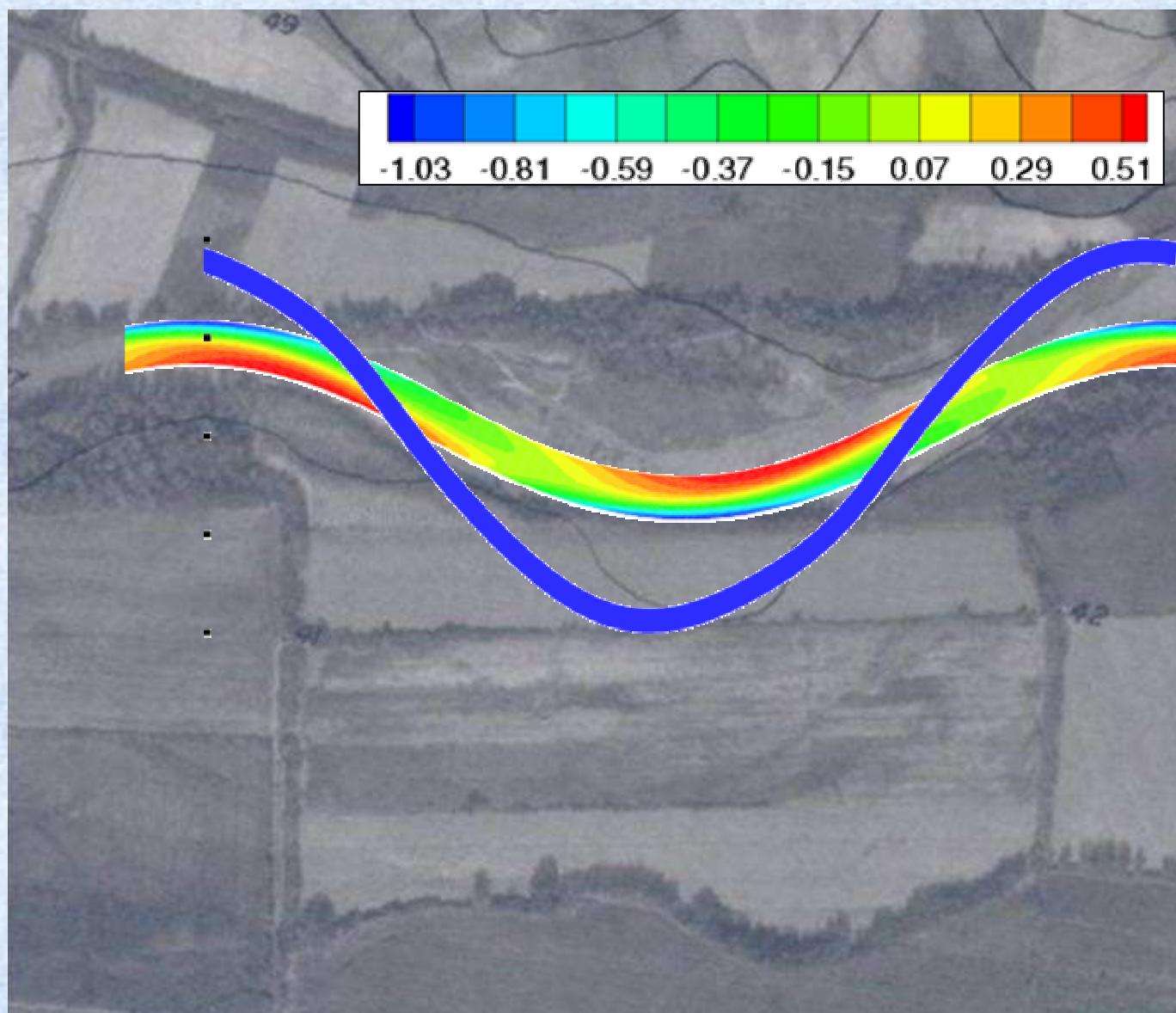


**Variation of the bottom elevation  $\Delta\eta$  relative to the initial configuration**





## Evoluzione planimetrica

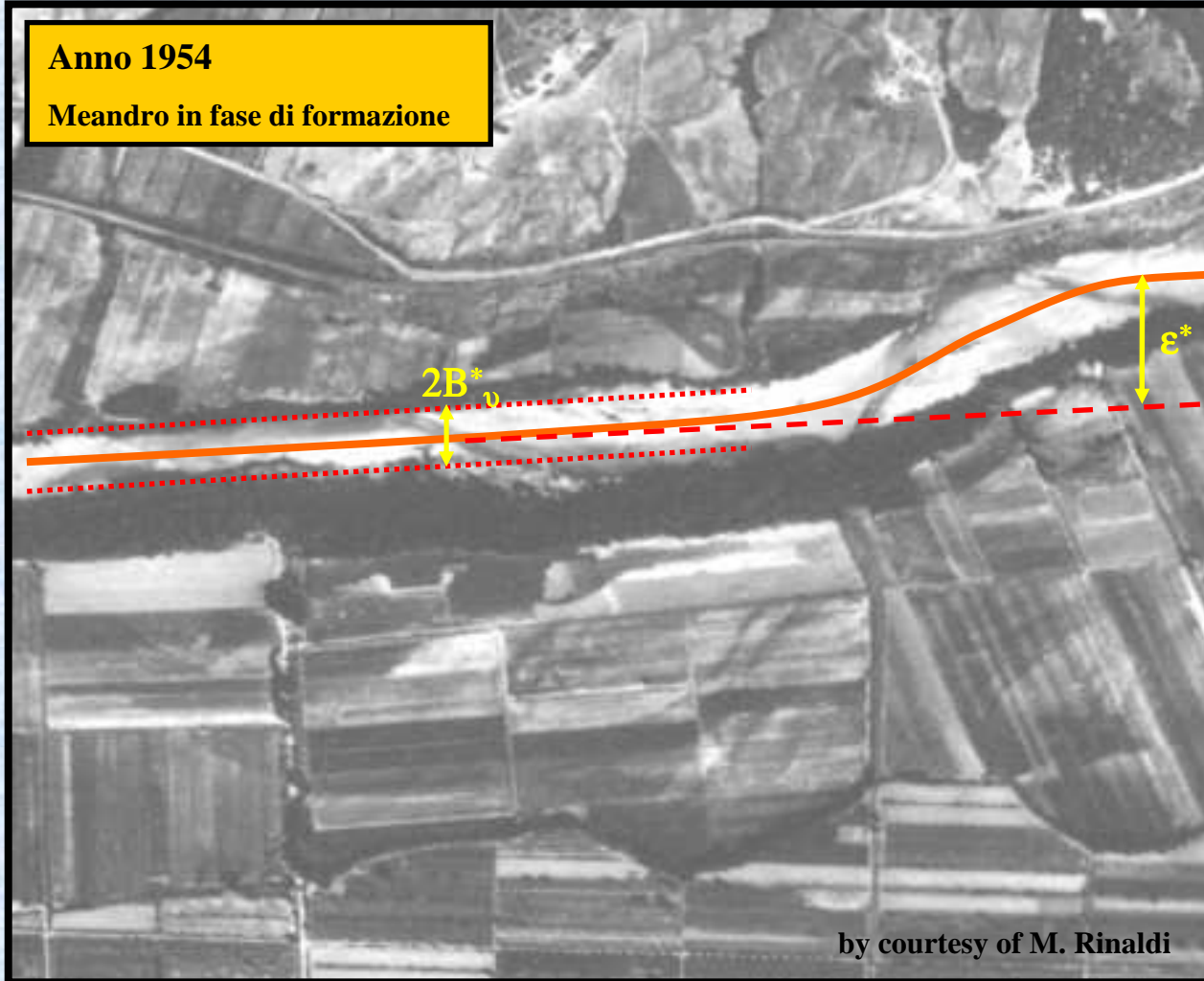


# Analisi di stabilità planimetrica

## Fiume Cecina (Sito C)

Anno 1954

Meandro in fase di formazione



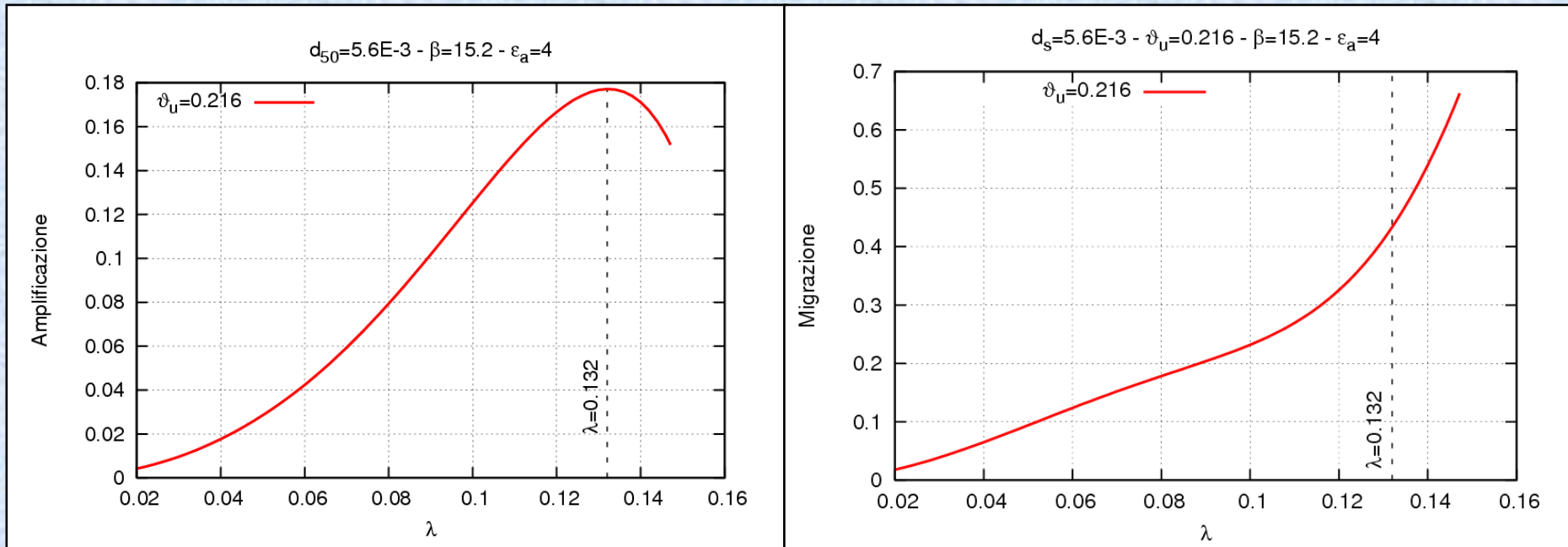
Stima approssimata dell'entità della perturbazione iniziale

$$\epsilon^* \approx 4B_u^* \rightarrow \epsilon \approx 4$$

by courtesy of M. Rinaldi



## Analisi di stabilità planimetrica



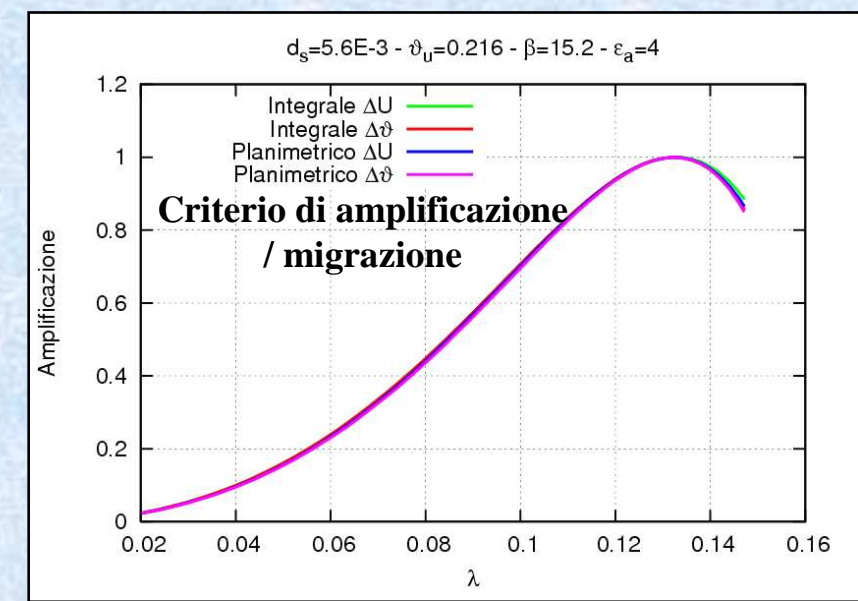
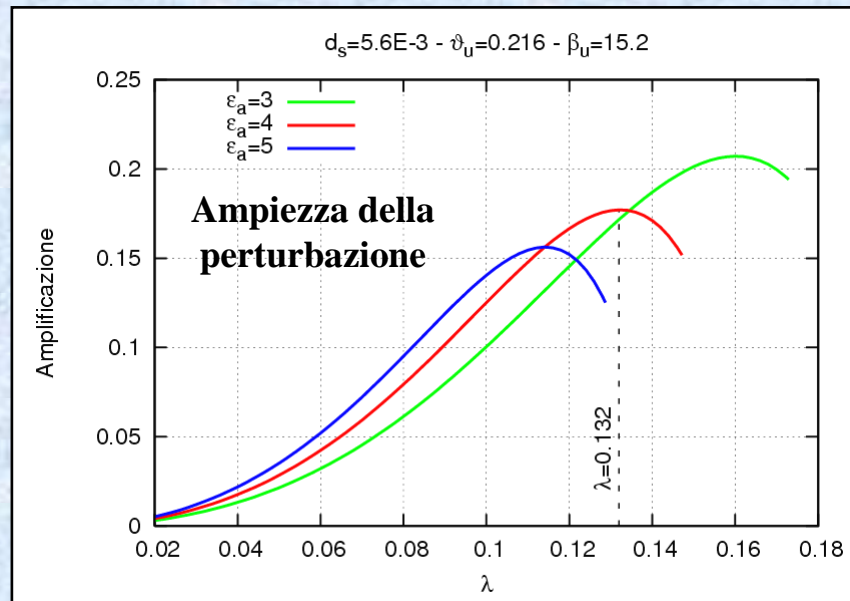
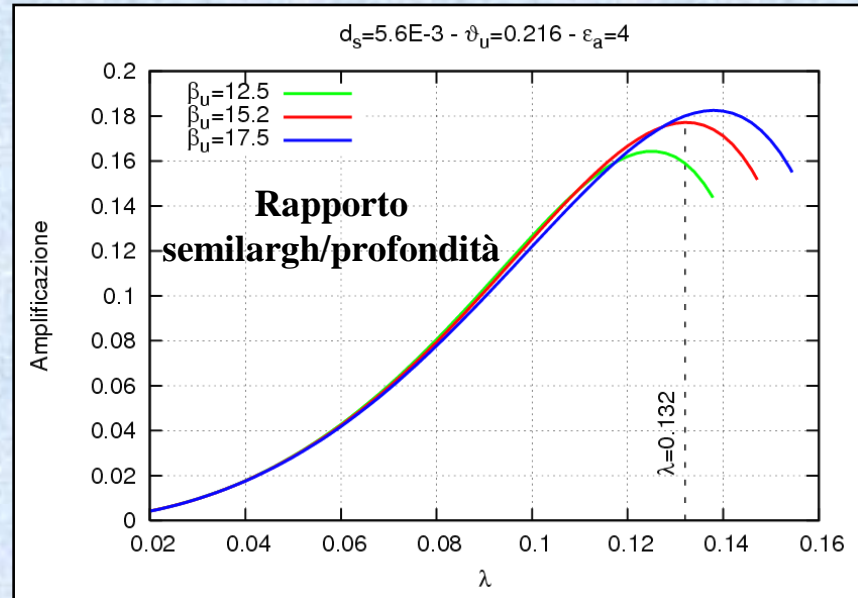
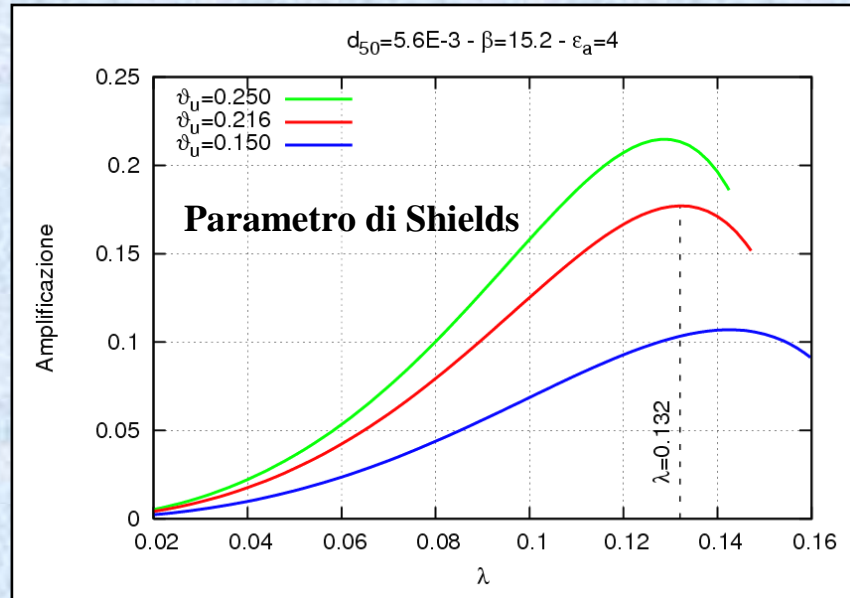
Numero d'onda **calcolato**

→  $\lambda \cong 0.132 \quad (L_s^* \cong 950 \text{ m})$

Numero d'onda **osservato** dalla foto aerea del 1978

→  $\lambda \cong 0.129 \quad (L_s^* \cong 970 \text{ m})$

# Stabilità planimetrica – Influenza dei parametri



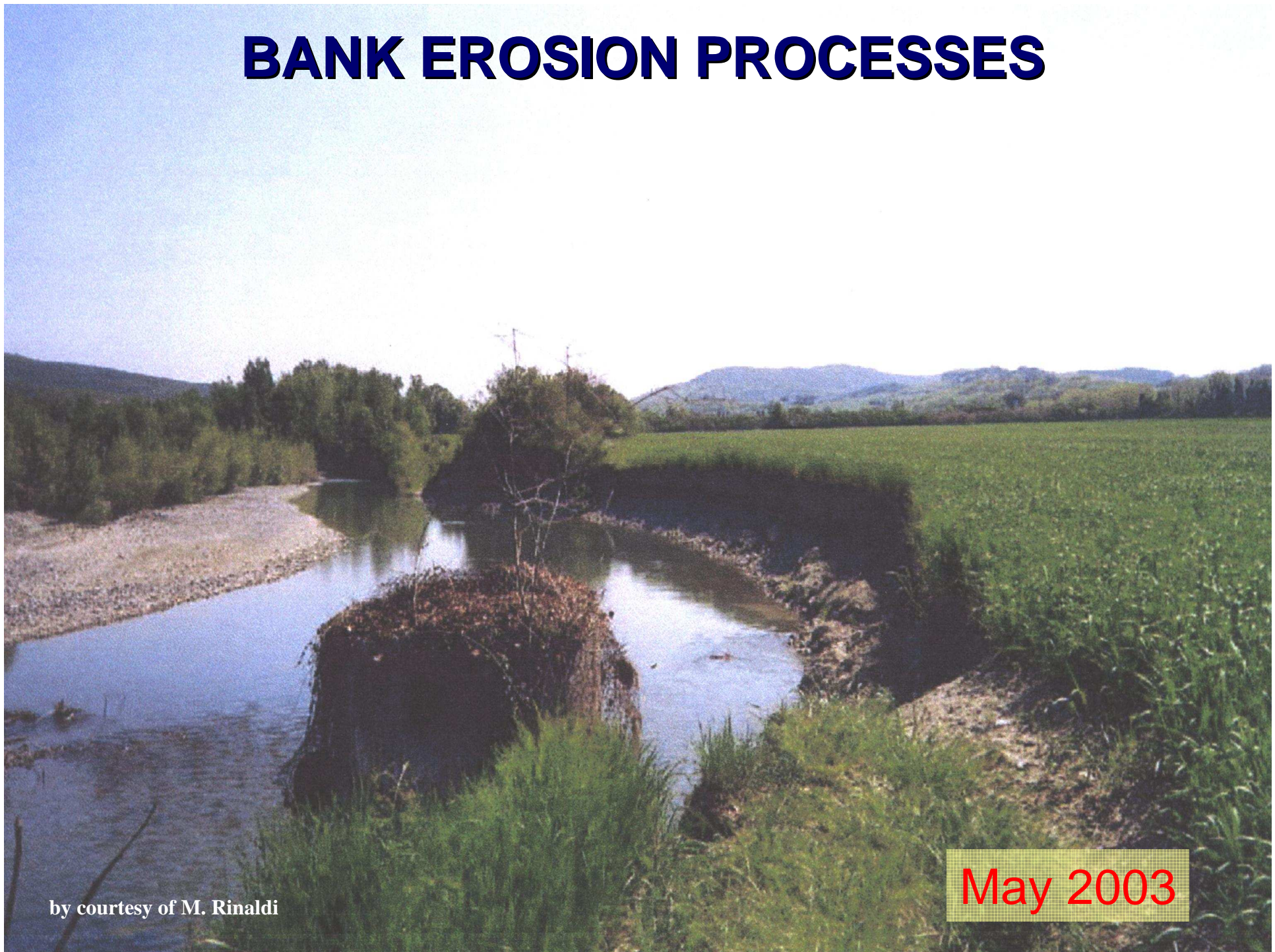


## Prossimi sviluppi

- **Configurazioni di equilibrio in presenza di variazioni di larghezza dell'alveo (“chute cutoff”)**
- **Evoluzione morfodinamica:**
  - **altimetrica (sponde fisse, evoluzione del fondo)**
  - **planimetrica**
- **Interazione *barre libere* – *barre forzate* dalla curvatura**



# BANK EROSION PROCESSES



by courtesy of M. Rinaldi

May 2003



# BANK EROSION PROCESSES



February 2005

by courtesy of M. Rinaldi

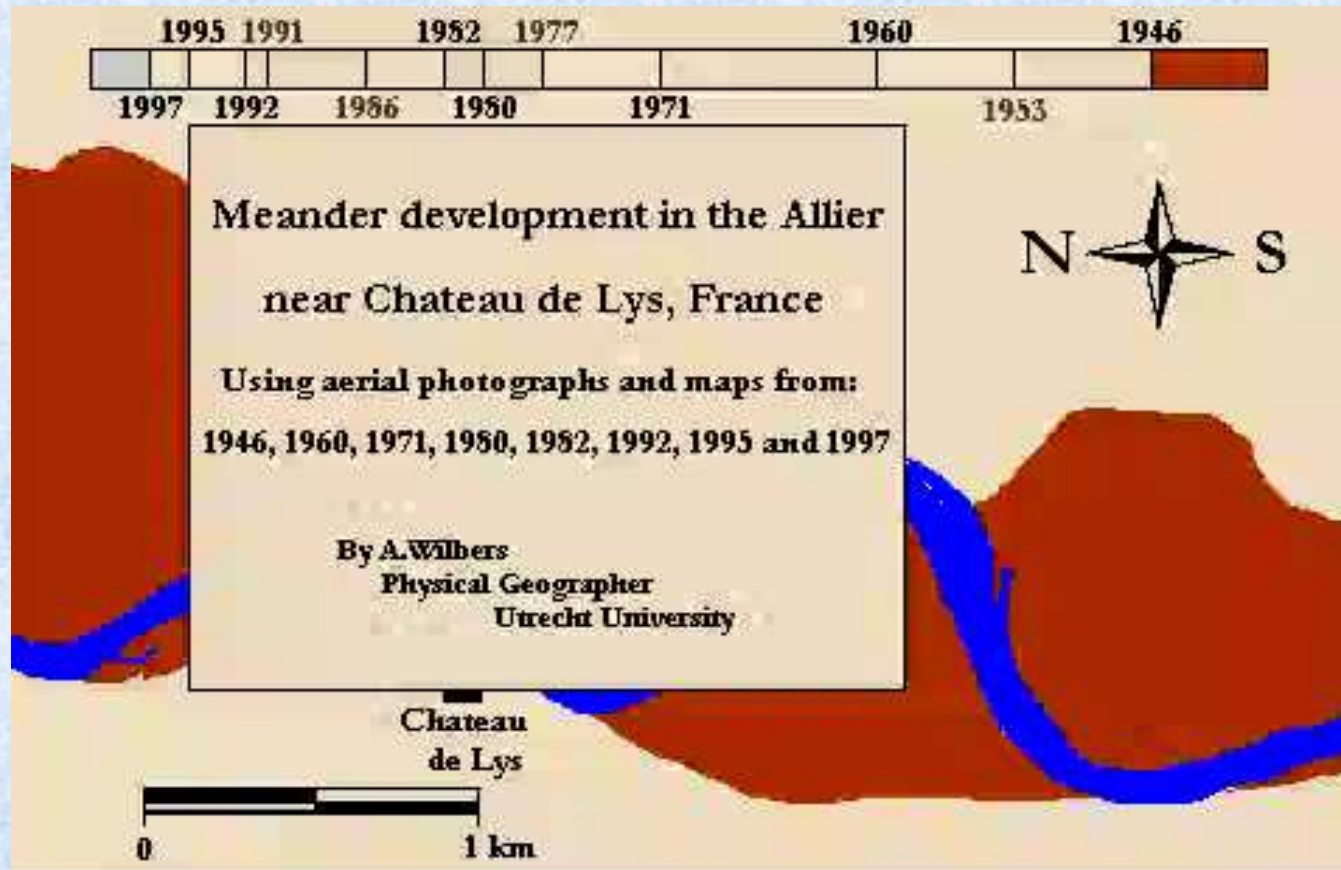
Back 



# Evoluzione planimetrica dei meandri

**Meander Development in the Allier near Chateau de Lys, France**  
**Provided by A. Wilbers, Utrecht University**

Meander bend migration and cut off using aerial photos and maps from:  
1945, 1960, 1971, 1980, 1982, 1992, 1995, and 1997







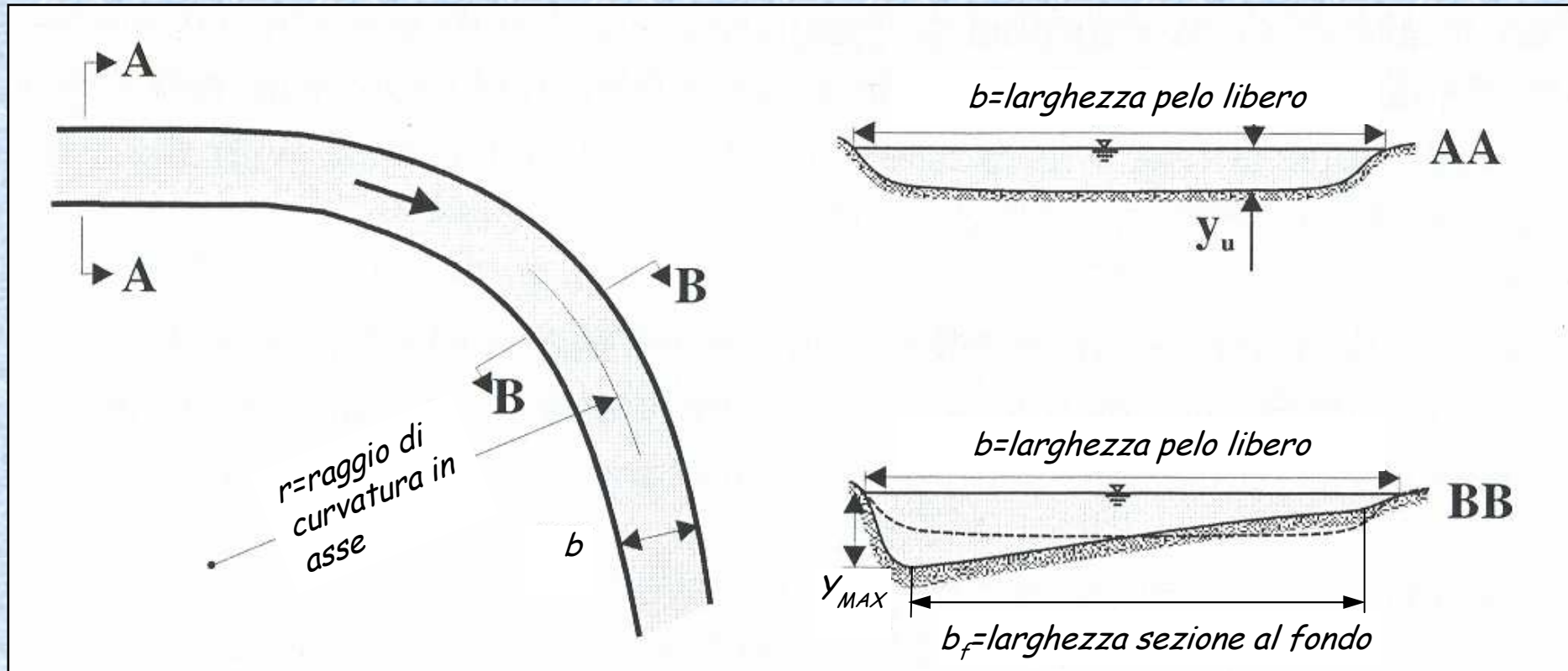








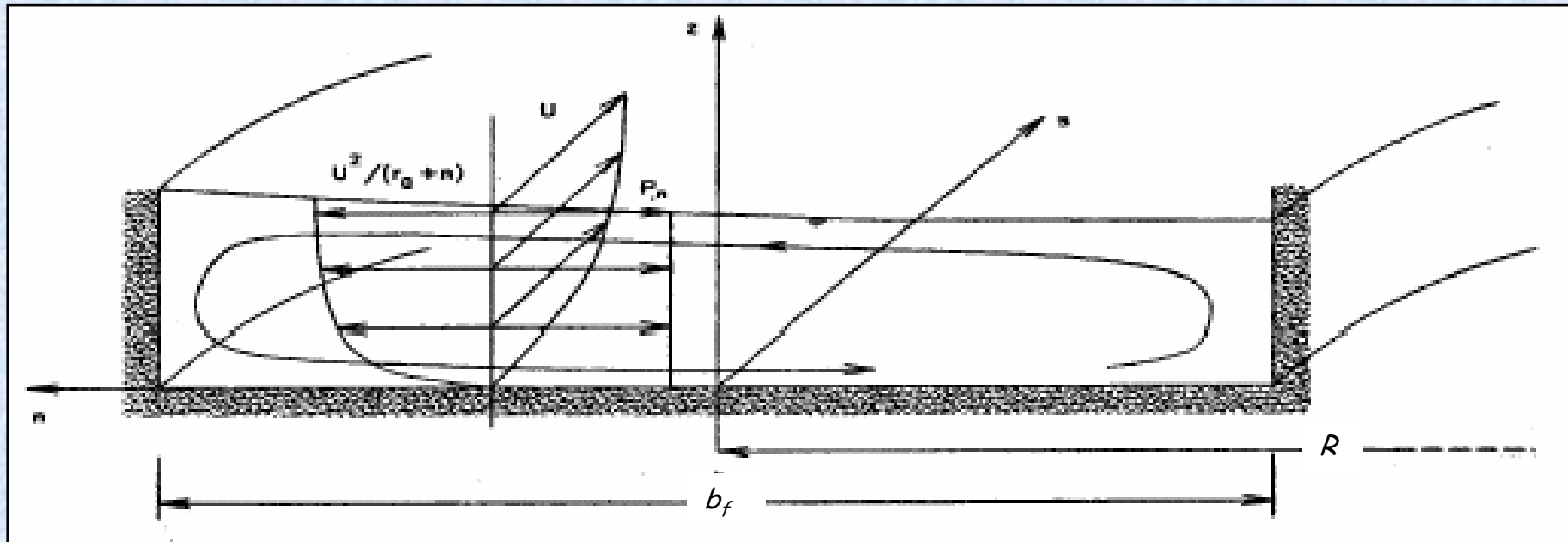
## IL CASO DEI CANALI A CURVATURA COSTANTE



$y_{MAX} = \text{profondita' massima}$



## CURVATURA COSTANTE – FONDO FISSO



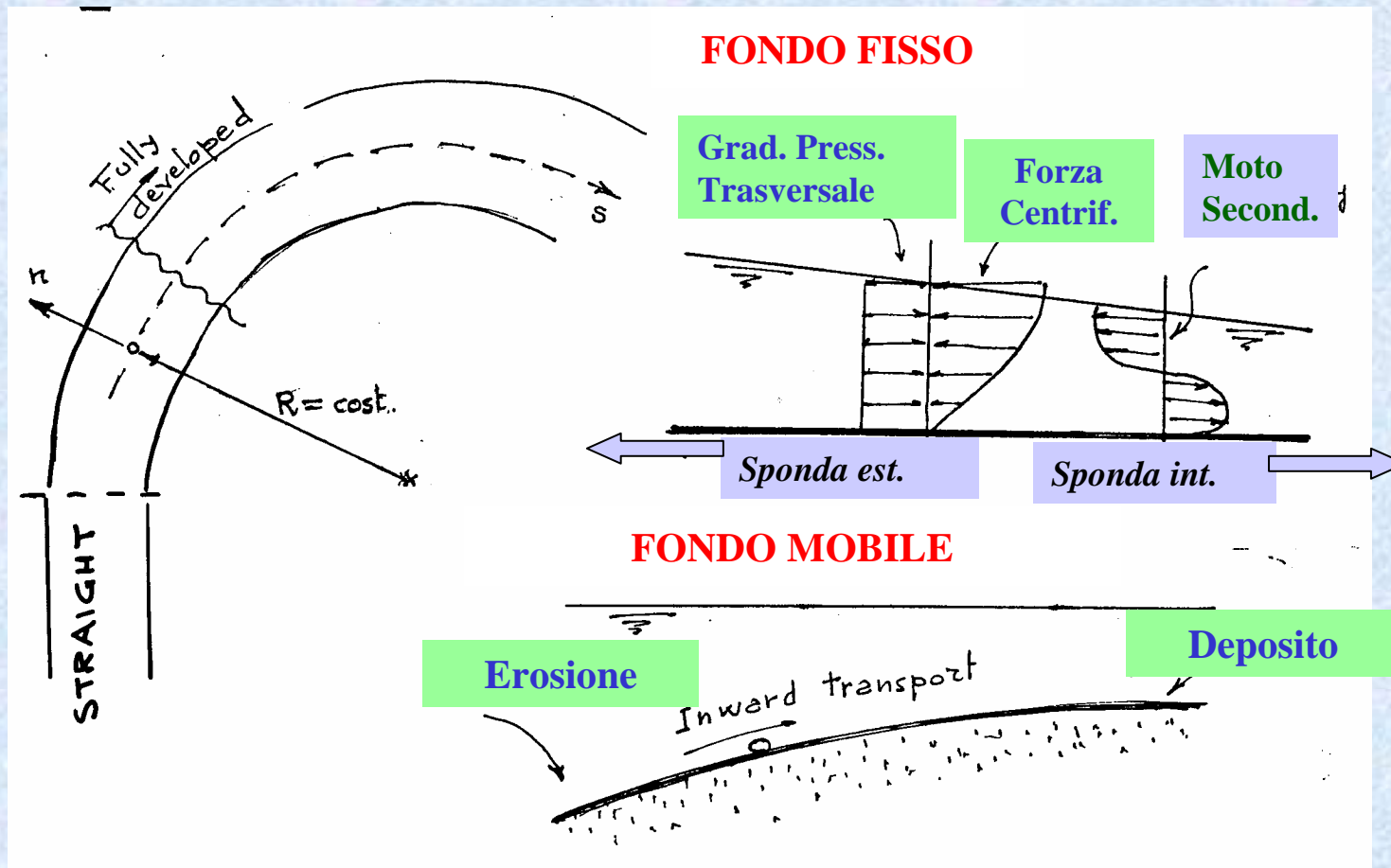
Lo **equilibrio** fra **forza centrifuga** (crescente dal fondo alla superficie libera) e **gradiente trasversale di pressione** (costante dovuta all'inclinazione laterale del pelo libero)

Induce

### MOTO SECONDARIO

Diretto **verso l'esterno** in prossimità del **pelo libero**  
Diretto **verso l'interno** in prossimità del **fondo**

## CURVATURA COSTANTE – FONDO MOBILE

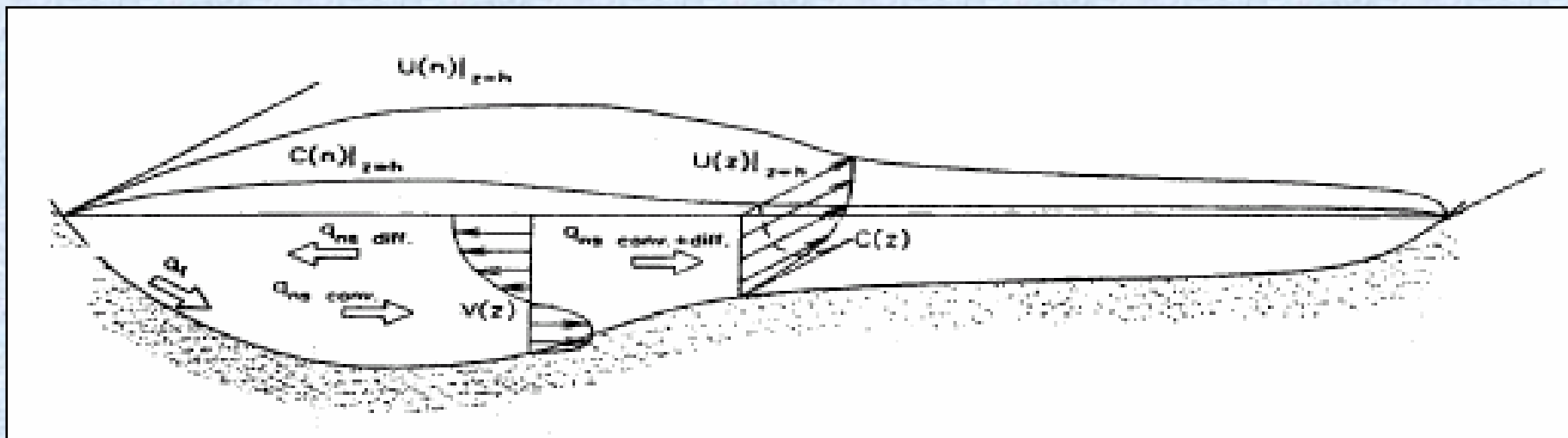


- Il moto secondario trascina **sedimenti verso l'interno** e forma una **barra di deposito**

- La sezione si approfondisce verso l'esterno



## CURVATURA COSTANTE – FONDO MOBILE



**Scavo** verso l'esterno

Barra di **deposito** verso l'interno



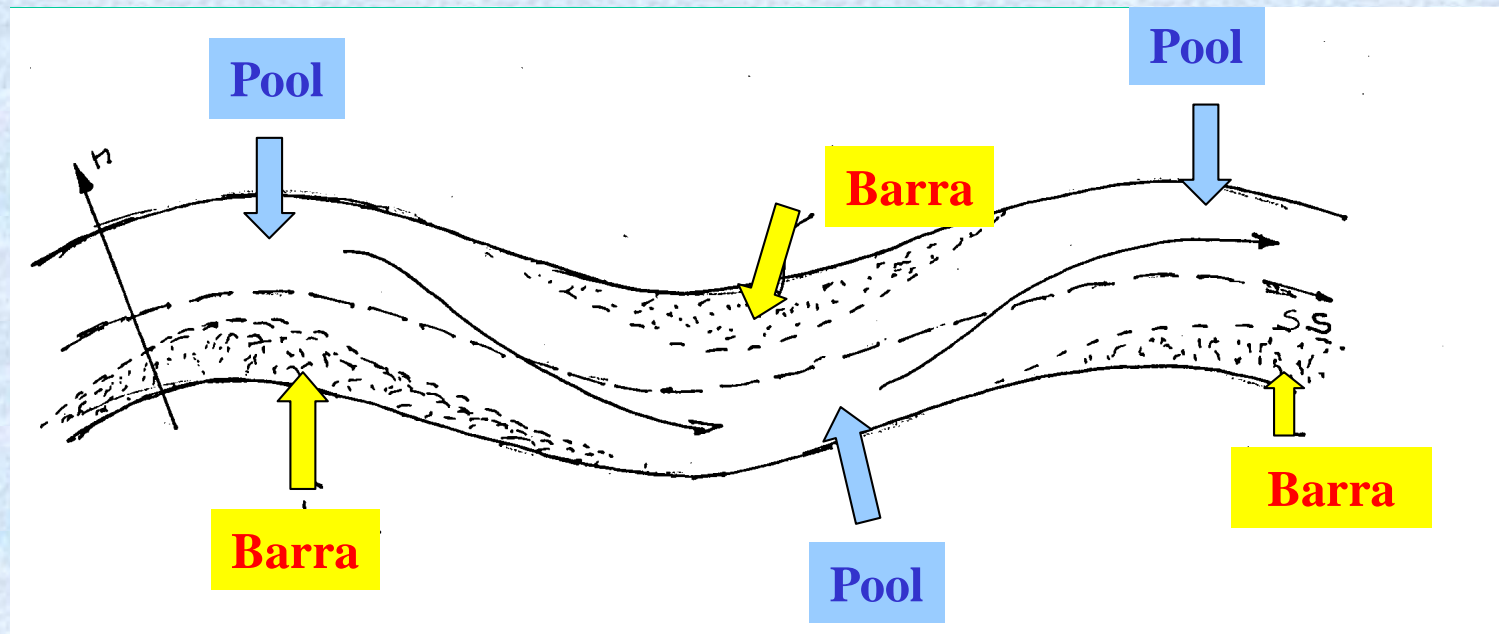


## Cosa cambia se la curvatura non è costante?

Se la curvatura varia nella direzione longitudinale



Moto secondario aggiuntivo indotto dalla topografia (effetto di shoaling)



### Problemi:

- Valutare il massimo scavo
- La sua localizzazione
- La sua distribuzione spaziale



*Back*







Rhine River



## Barre alternate libere o migranti

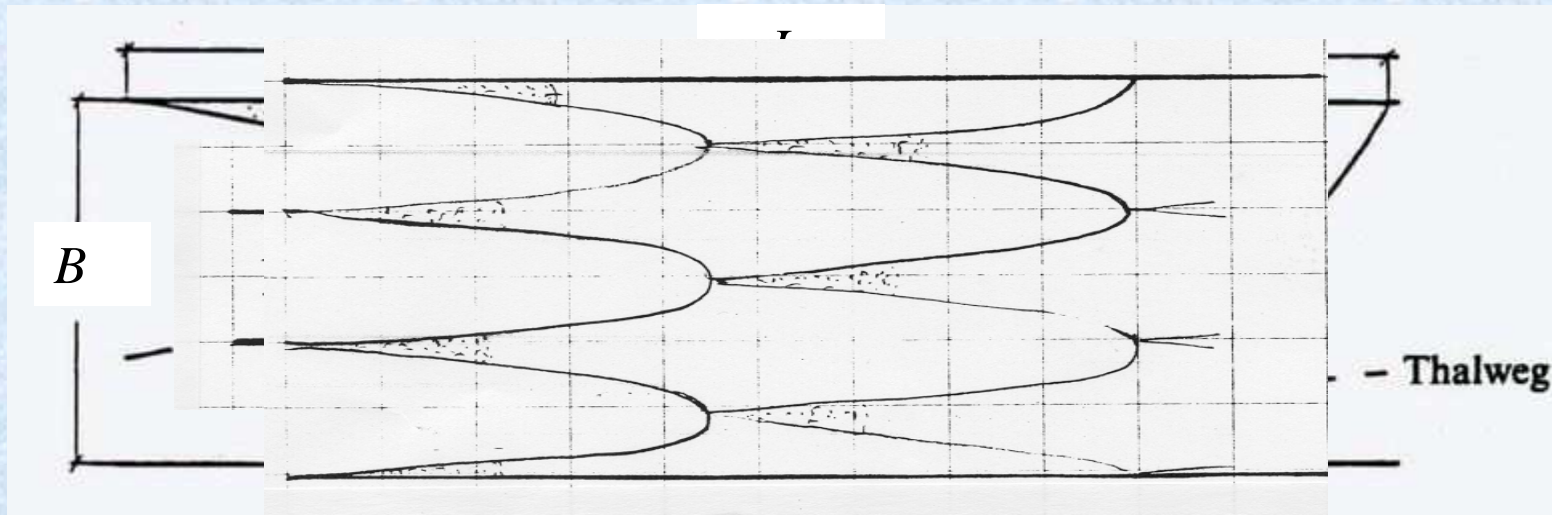
**Perturbazioni della topografia, trasversale e longitudinale del fondo (scavi e depositi)** dovute a un meccanismo di

**INSTABILITA' del FONDO**

**Formazione di megaforme di fondo (barre migranti)**

**Barre migranti** possono essere:

- singole (**barre alternate**)
- doppie (**barre centrali**)
- multiple (**barre multiple**)





## Barre alternate libere o migranti

### ➤ Caratteristiche generali delle barre alternate:

- Hanno dimensioni spaziali dell'ordine della larghezza del canale.
- Producono fenomeni di erosione e deposito dell'ordine della profondità.
- Condizionano l'evoluzione planimetrica del corso d'acqua.
- Migrano verso valle.

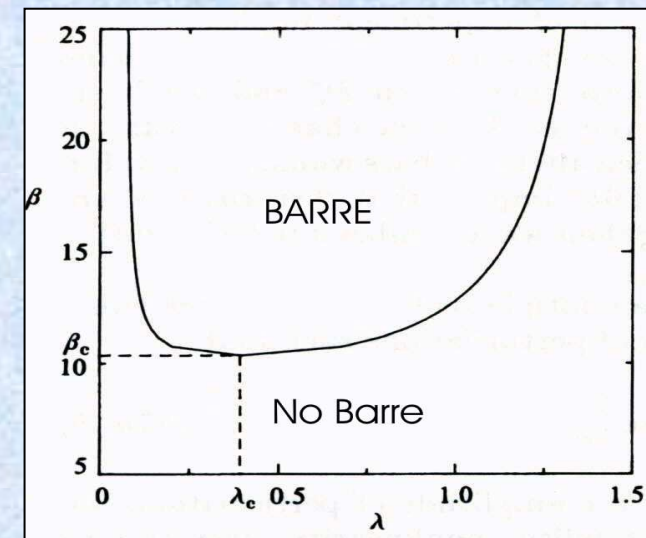
### ➤ Criterio di formazione delle barre alternate

#### Parametri di controllo

$\beta$  = Semilarghezza / Profondità media

$d_s$  =  $d_{50}$  / Profondità media

$\vartheta$  = Tensione di Shields media

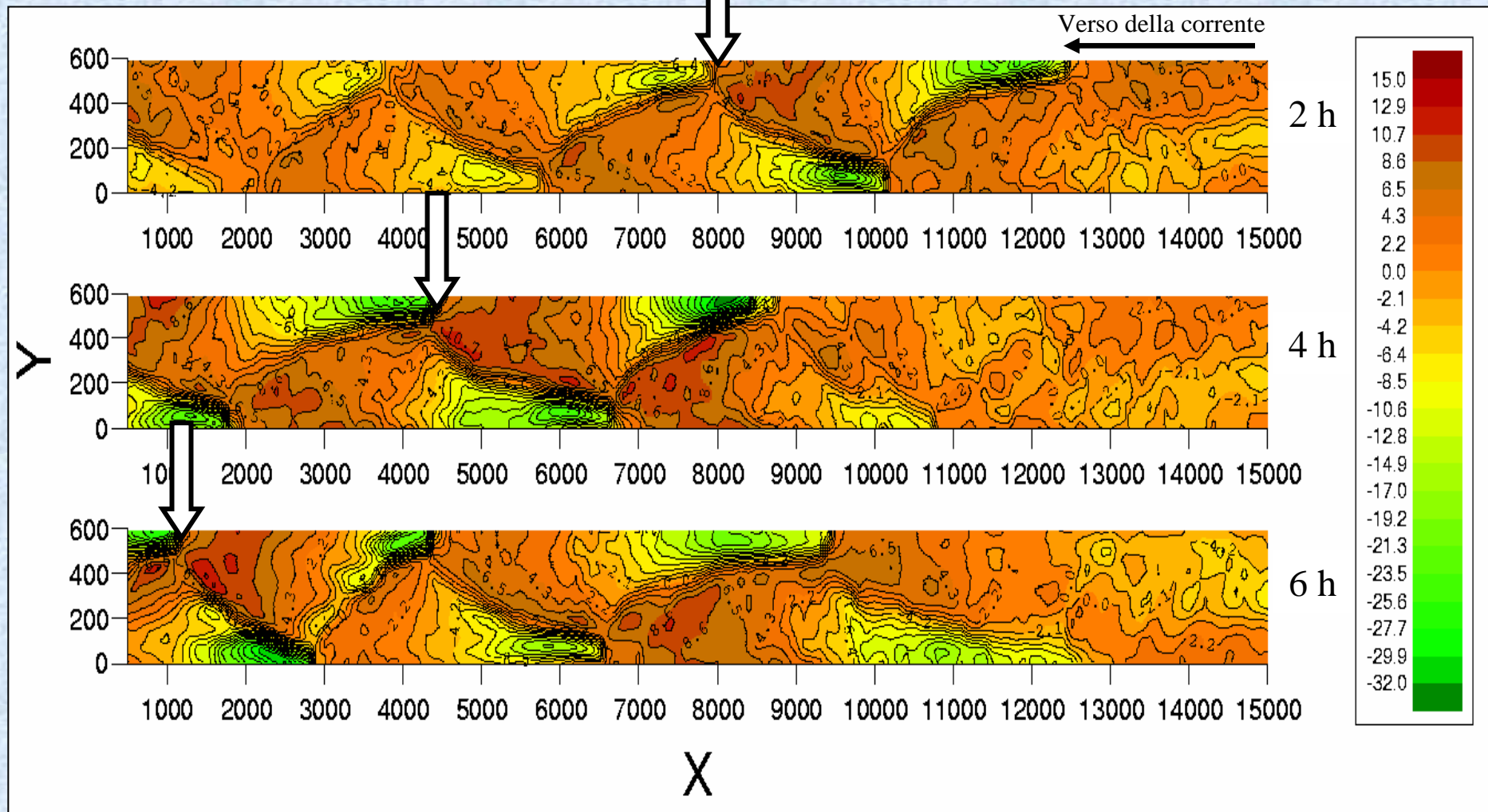


Si formano in **alvei larghi** per i quali risulta soddisfatta:

$$\beta > \beta_c (\vartheta, d_s)$$

(Colombini, Seminara e Tubino, JFM 1987)

## Barre alternate libere o migranti



Prof. di moto uniforme:  $Y_0 = 26 \text{ mm}$

Ampiezza di equilibrio delle barre  $H_{BM} \cong 46 \text{ mm}$

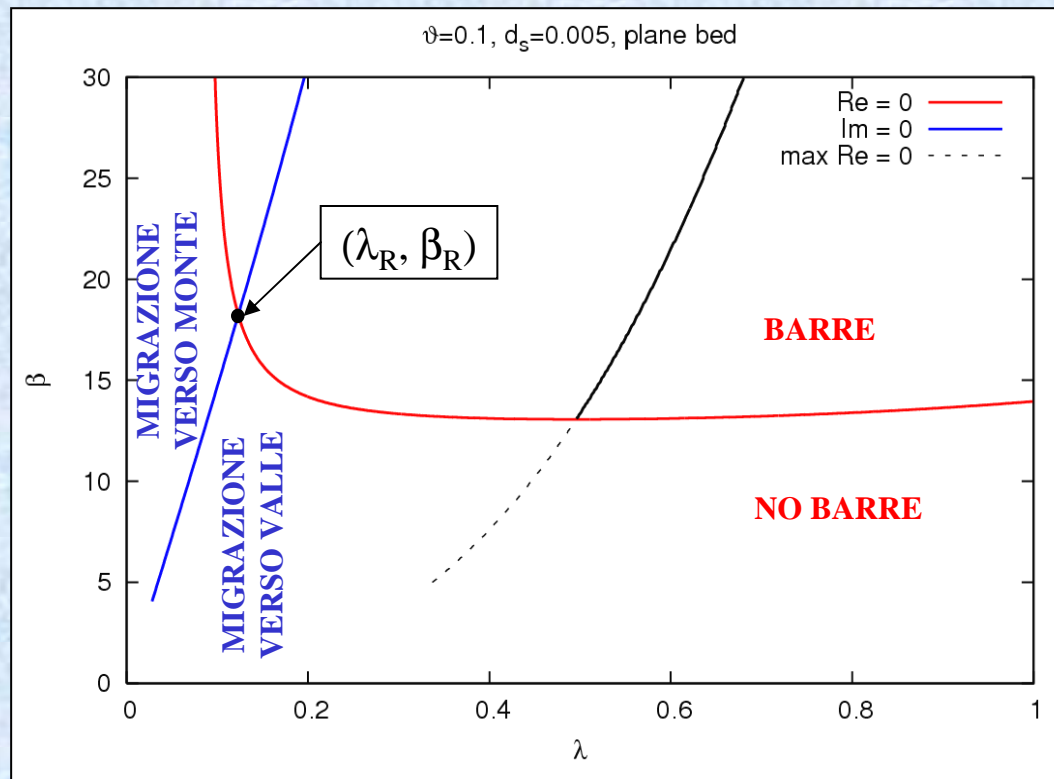
$$\beta = 11.5 > \beta_C = 6.5$$

back





## Risonanza in alvei meandriformi (Blondeaux & Seminara, 1985)



In corrispondenza del valore  $\beta_R$  il sistema ammette una risposta libera nella forma di **barre alternate stazionarie** (non si amplificano nè migrano) aventi numero d'onda pari a  $\lambda_R$

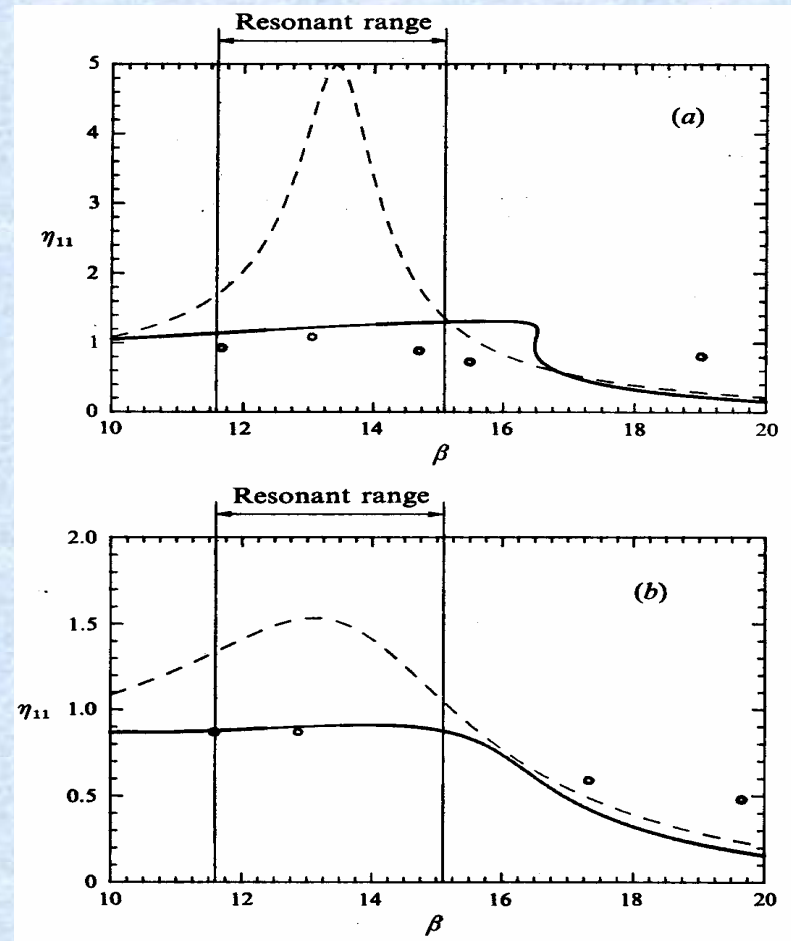
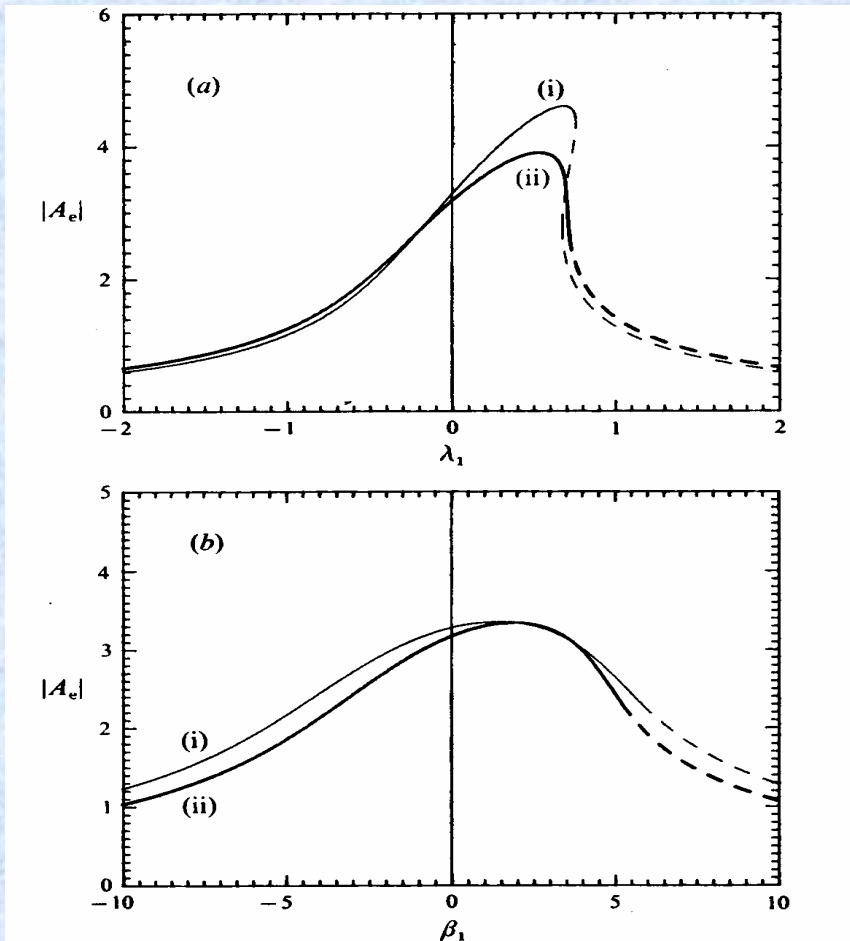


Si ha **risonanza** (linearmente) in un alveo meandriforme se:

- il numero d'onda  $\lambda$  è prossimo a  $\lambda_R$
- il rapporto semilarghezza/profondità  $\beta$  è prossimo a  $\beta_R$

essendo i valori  $\lambda_R$  e  $\beta_R$  funzioni del parametro di Shields  $\vartheta$  e della scabrezza relativa  $d_s$

# Weakly non linear theory (Seminara & Tubino, 1992)



Comparison with experimental observations of Colombini, Tubino and Whiting (1991)



## Possibile accoppiamento con modello 1D

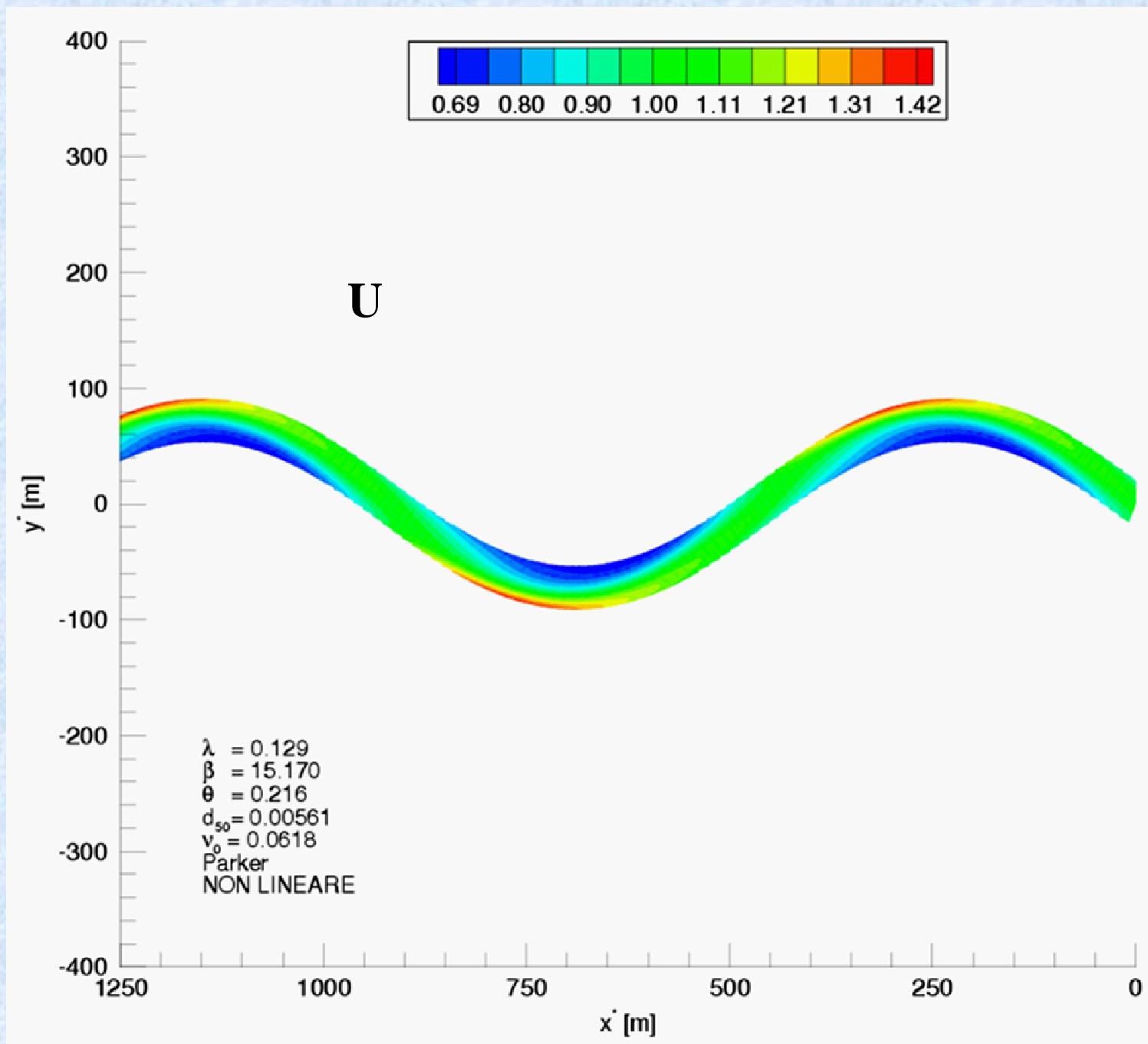
- Distribuzione della curvatura non necessariamente periodica
- Opportune condizioni al contorno nella sezione iniziale e finale
- Vincoli integrali in termini di  $Q(\sigma)$  e  $Q_s(\sigma)$

Fiume Cecina

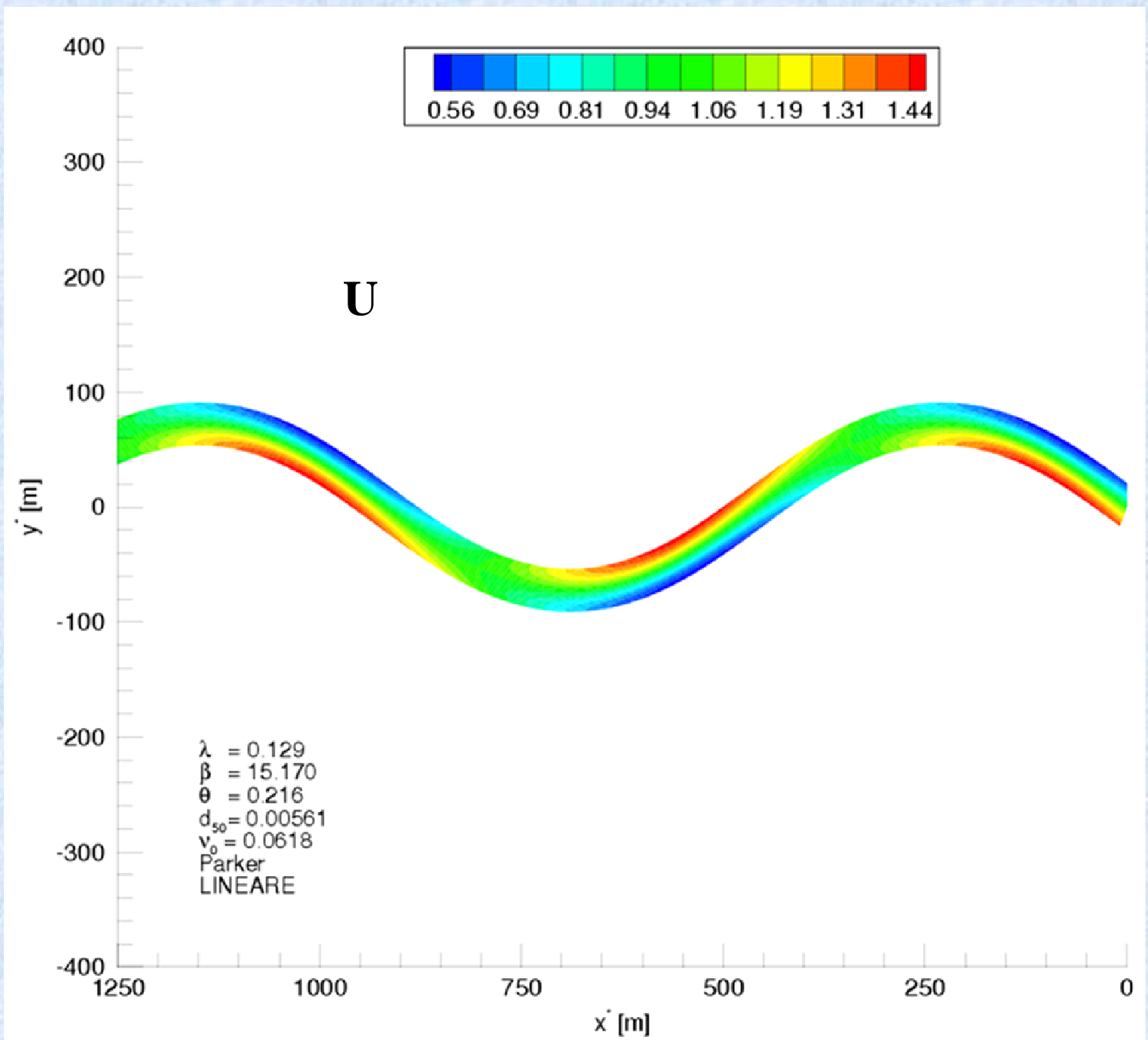
Potrebbero derivare  
da un modello 1D

by courtesy of M. Rinaldi









$d_s=0.1 - \delta=0.005 - \vartheta_u=0.1$

